

*La triada de la glucosa ( $HbA1c$ ,  
 $GPA$  y  $GPP$ ) en el control glucémico  
integral del paciente diabético tipo  
II: Papel de los inhibidores de la  
**DPP-4***

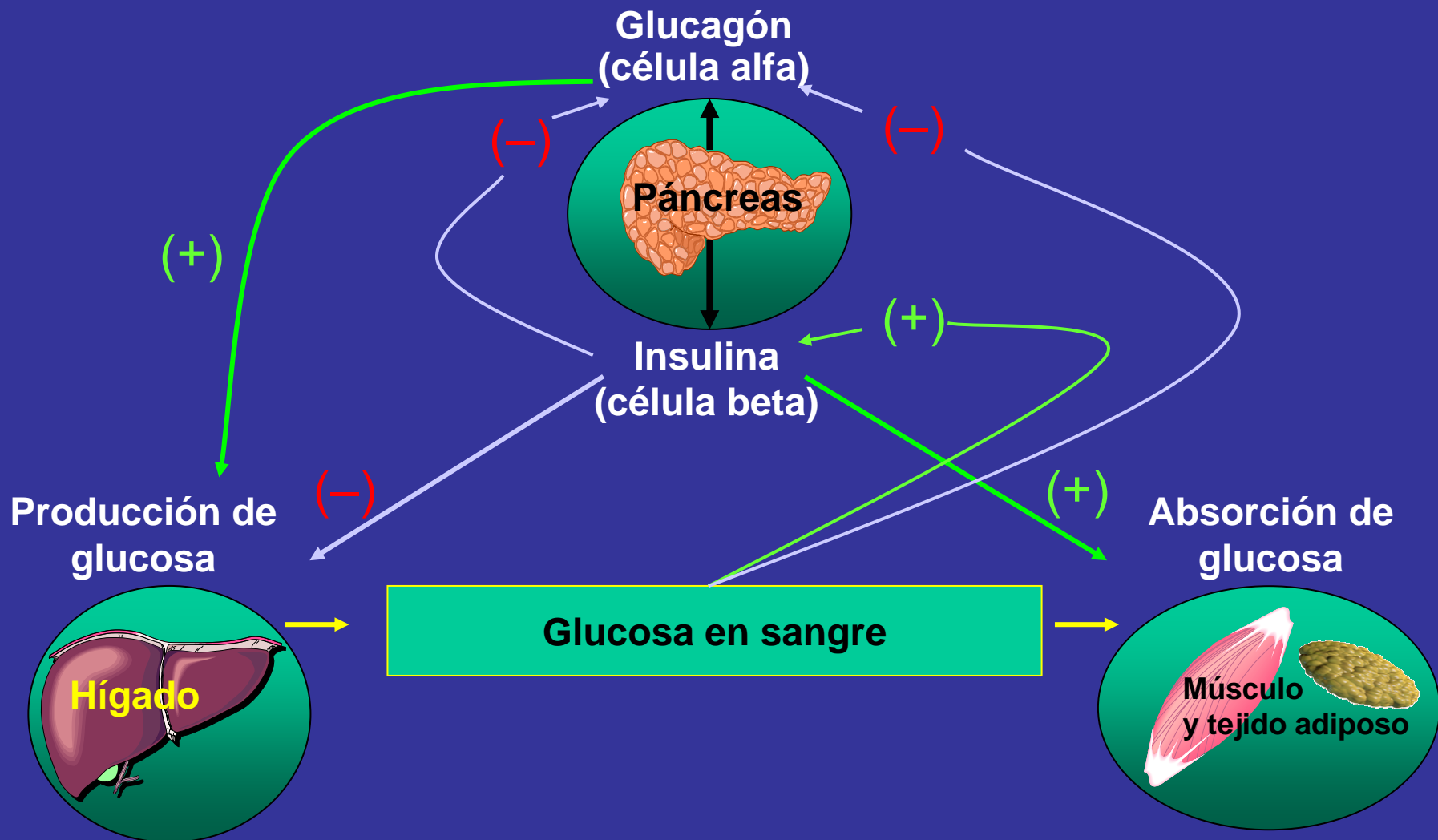
# Las células beta y alfa en el páncreas de las personas sanas

Células beta	Células alfa
<ul style="list-style-type: none"><li>Constituyen alrededor del 60 % de la masa endocrina del páncreas<sup>1</sup></li></ul>	<ul style="list-style-type: none"><li>Constituyen alrededor del 35 % de la masa endocrina del páncreas<sup>1</sup></li></ul>
<ul style="list-style-type: none"><li>Producen insulina y amilina<sup>2</sup></li></ul>	<ul style="list-style-type: none"><li>Producen glucagón<sup>2</sup></li></ul>
<ul style="list-style-type: none"><li>La insulina se secreta en respuesta a una glucemia alta<sup>2</sup></li></ul>	<ul style="list-style-type: none"><li>El glucagón se secreta en respuesta a una glucemia baja<sup>2</sup></li></ul>

1. Cabrera O et al. PNAS. 2006;103:2334–2339.

2. Cleaver O et al. In: Joslin's Diabetes Mellitus. Lippincott Williams & Wilkins; 2005:21–39.

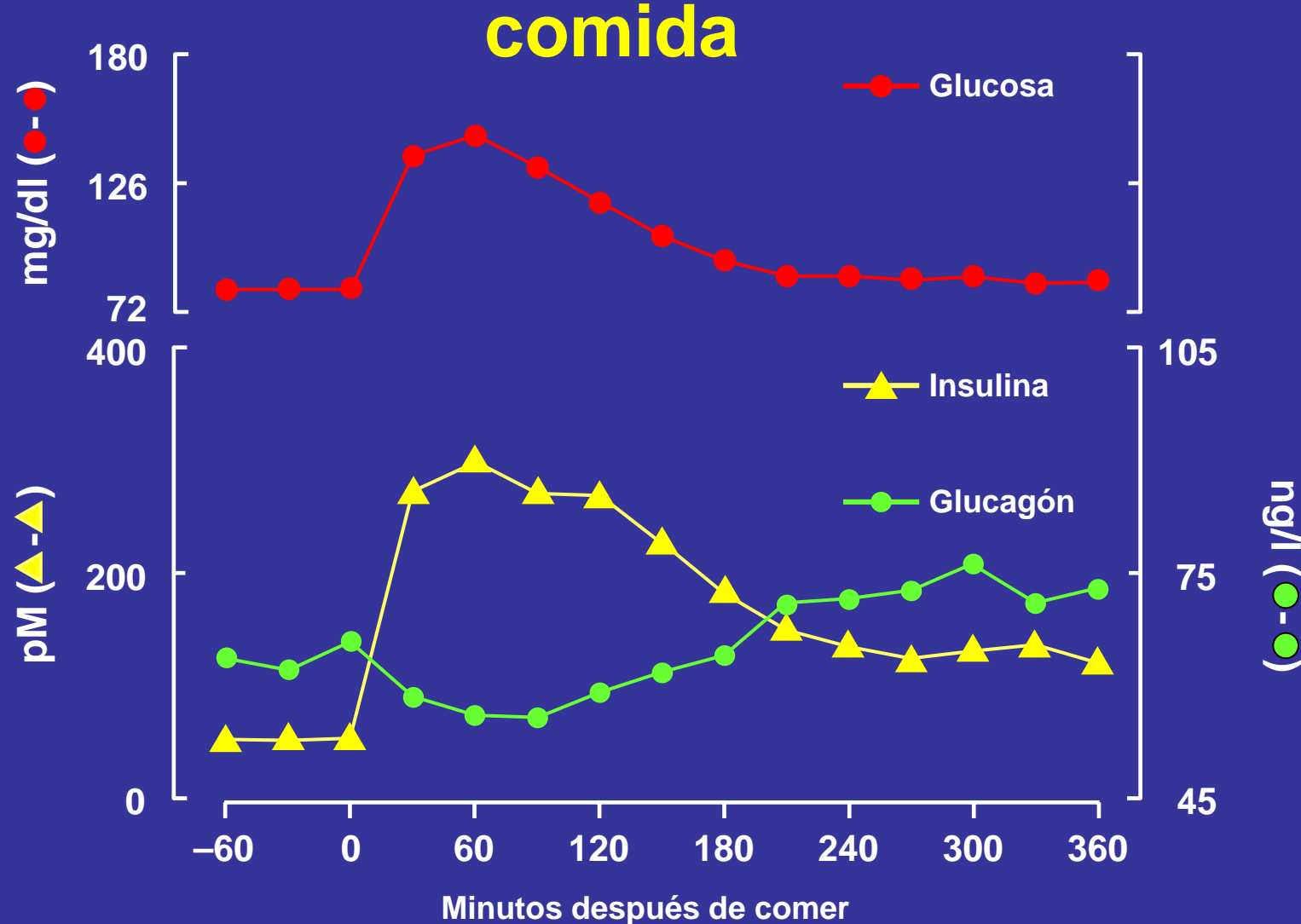
# La insulina y el glucagón regulan la homeostasis normal de la glucosa



Porte D Jr et al. Clin Invest Med. 1995;18:247–254.

Adaptado de Kahn CR, Saltiel AR. Joslin's Diabetes Mellitus. 14th ed. Lippincott Williams & Wilkins; 2005:145–168.

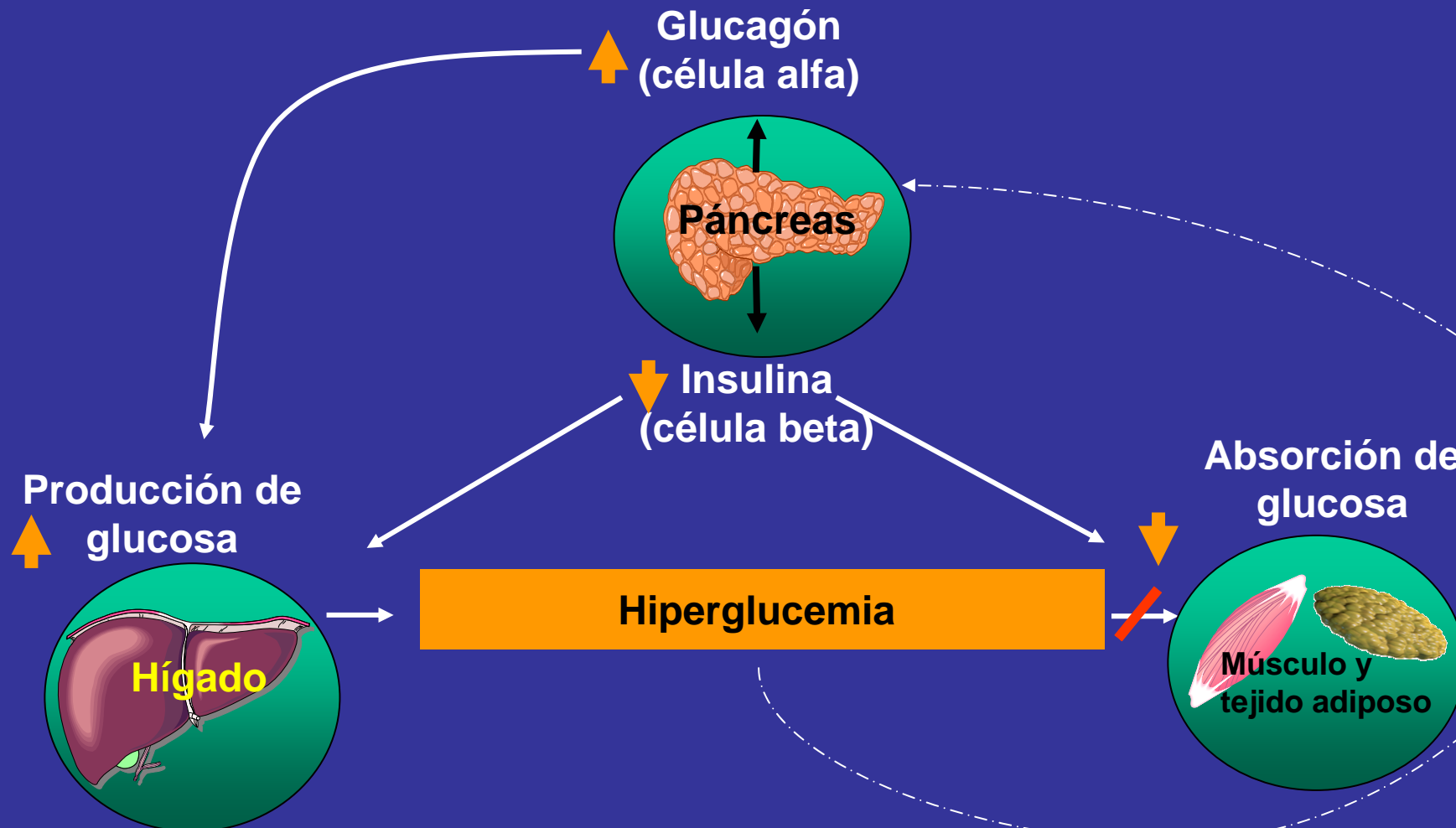
# En las personas sanas, la insulina aumenta y el glucagón disminuye en respuesta a la comida



n = 11.

Adaptado de Woerle HJ et al. Am J Physiol Endocrinol Metab. 2003;284:E716–E725.

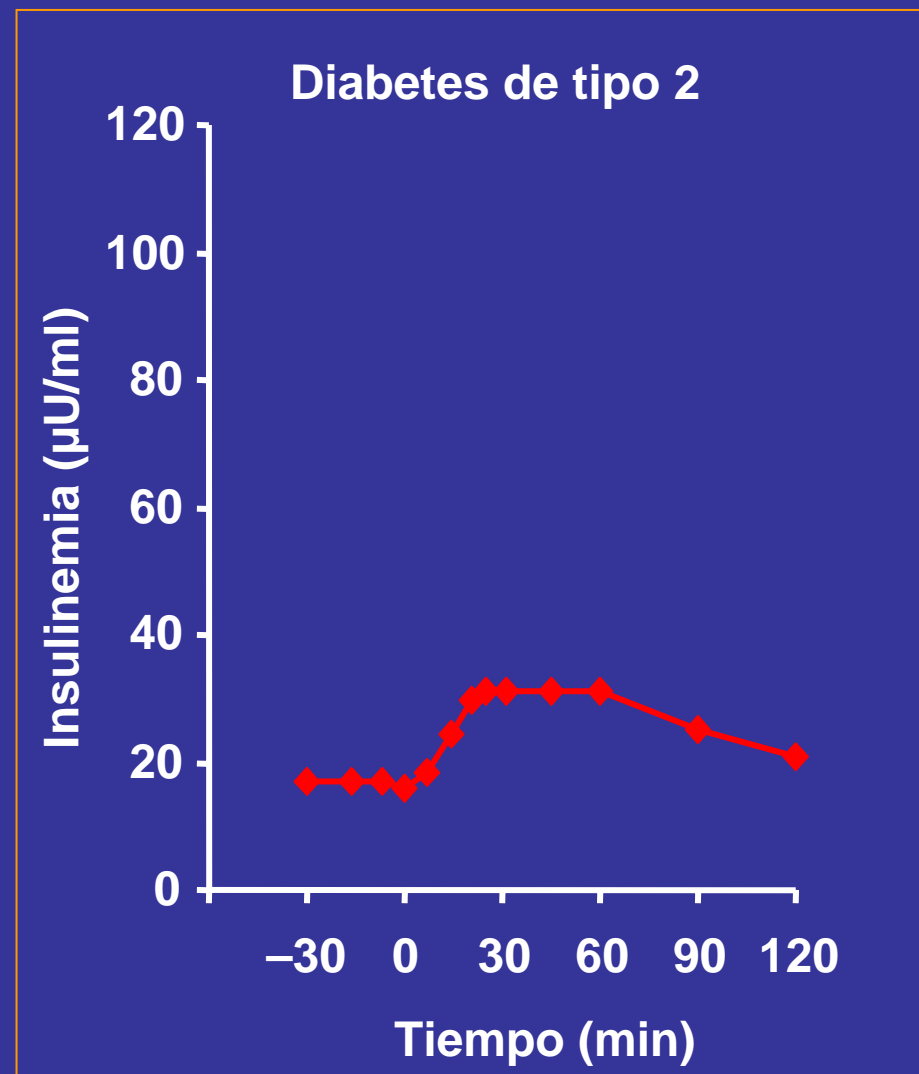
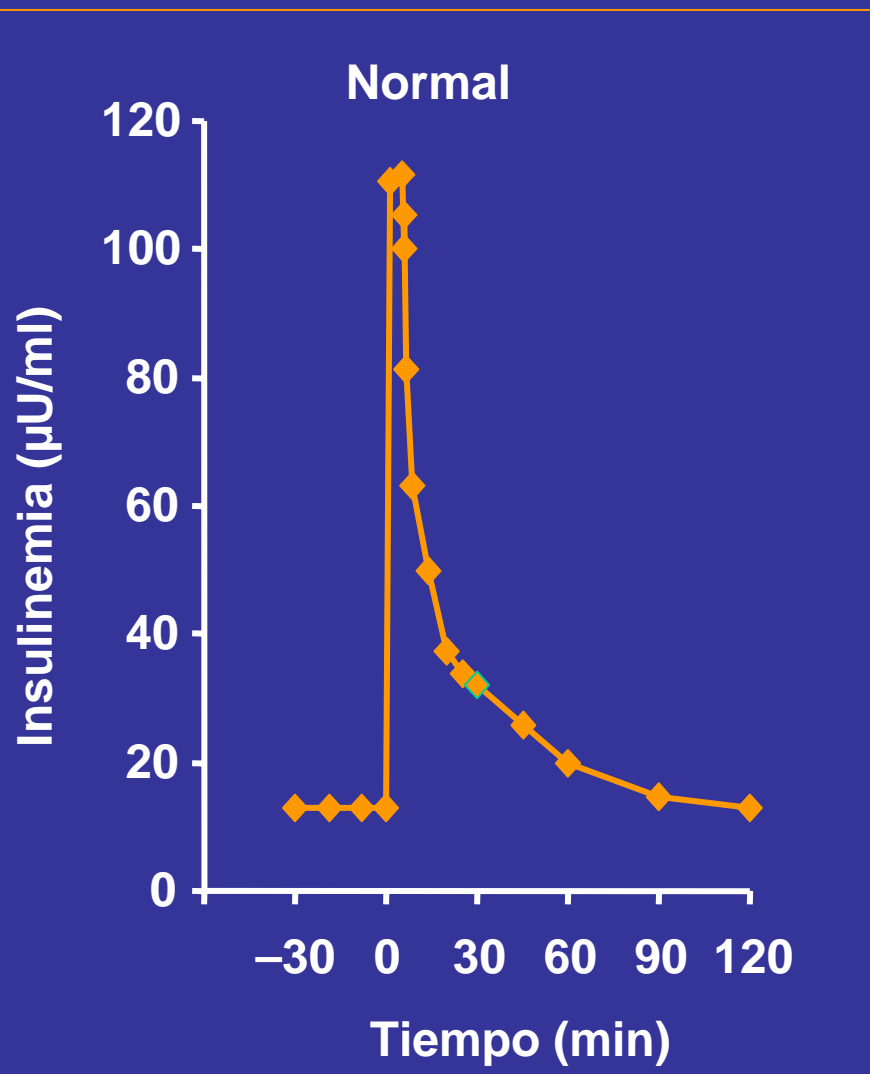
# La fisiopatología de la diabetes de tipo 2 abarca la disfunción de las células de los islotes y la resistencia a la insulina



Buse JB et al. In: Williams Textbook of Endocrinology. 10th ed. Saunders, 2003:1427–1483; Buchanan TA. Clin Ther. 2003;25(suppl B):B32–B46; Powers AC. In: Harrison's Principles of Internal Medicine. 16th ed. McGraw-Hill, 2005:2152–2180; Rhodes CJ. Science. 2005;307:380–384.

Adaptado de Kahn CR, Saltiel AR. Joslin's Diabetes Mellitus. 14th ed. Lippincott Williams & Wilkins; 2005:145–168.

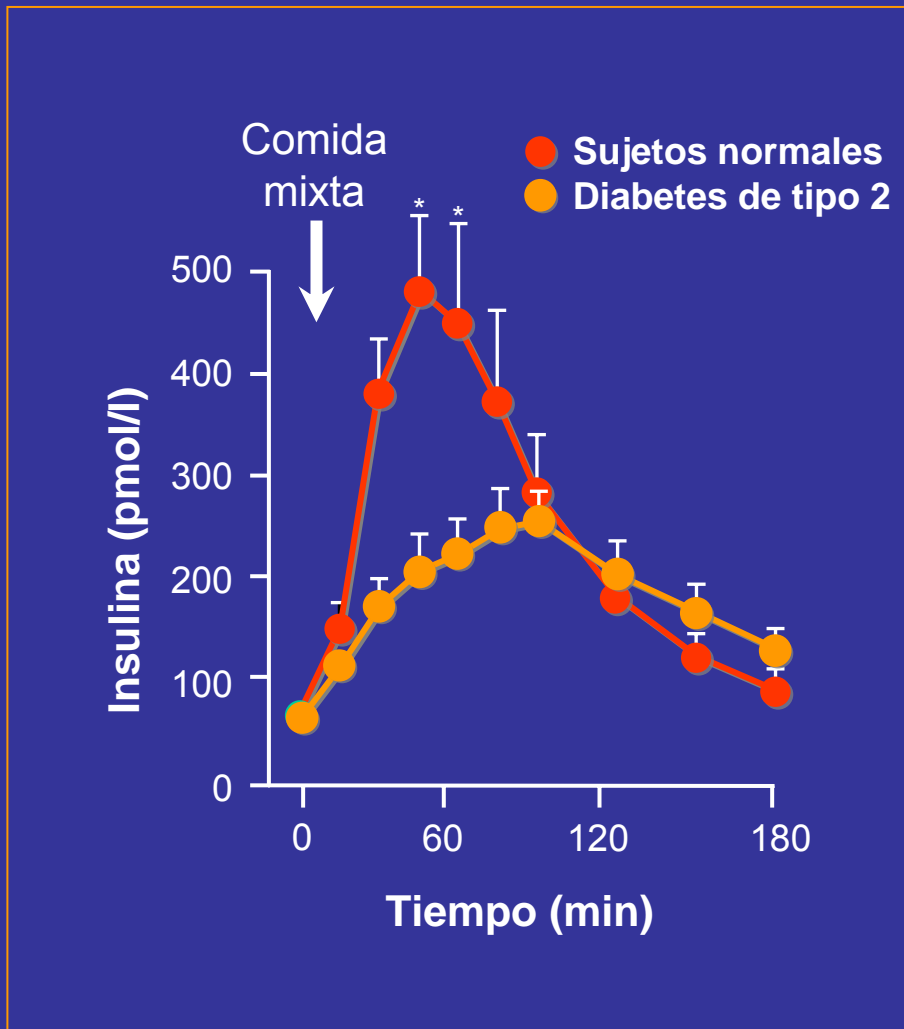
# La primera fase de la respuesta de la insulina a la glucosa IV desaparece en la diabetes de tipo 2



*n = 9 normales; n = 9 diabéticos de tipo 2*

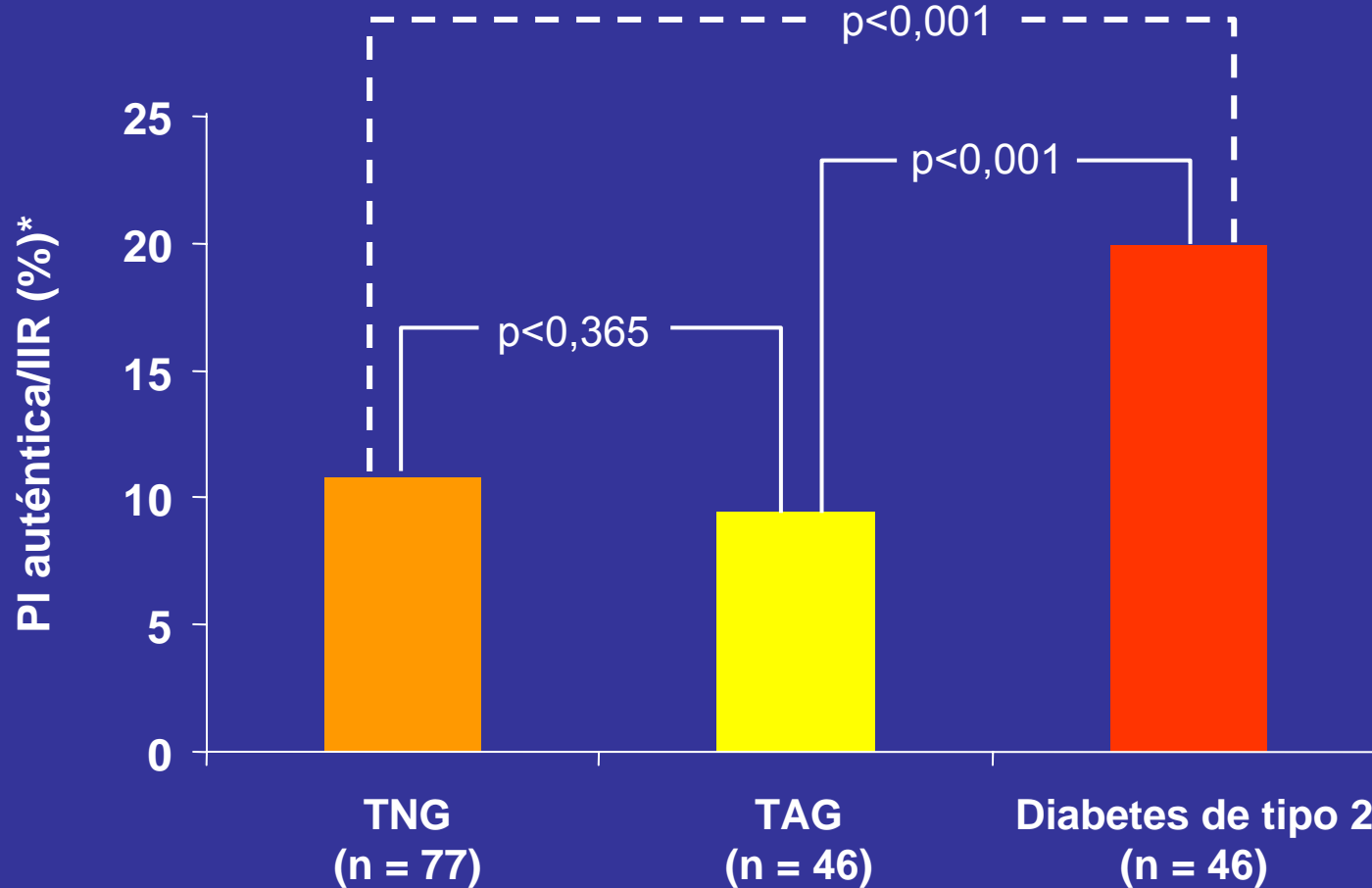
Adaptado de Pfeifer MA et al. Am J Med. 1981;70:579–588.

# La función de las células beta es anormal en la diabetes de tipo 2



\* $p<0,05$  entre grupos.

# La relación proinsulina:insulina en ayunas es elevada en los pacientes con diabetes de tipo 2

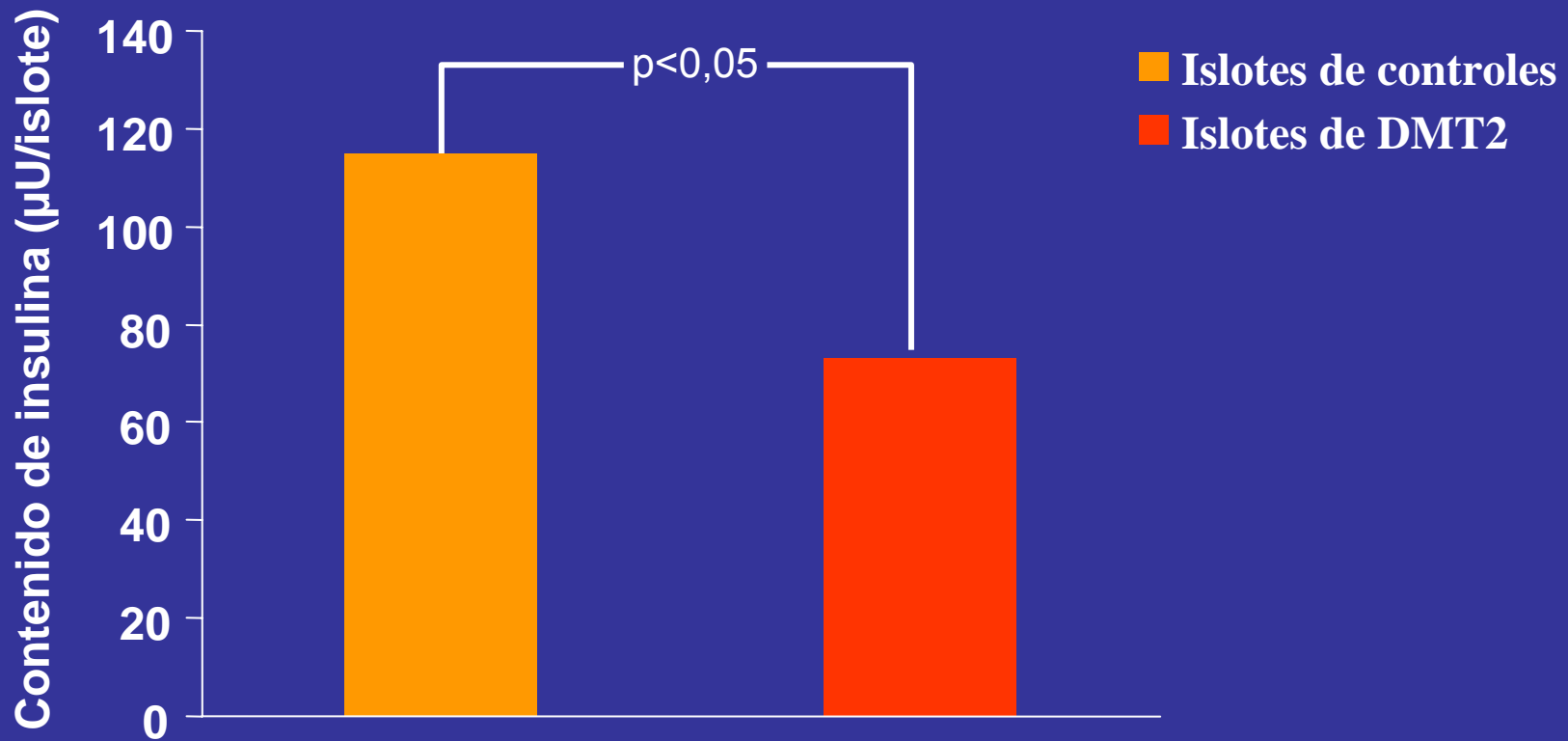


*TNG=tolerancia normal a la glucosa; TAG=tolerancia alterada a la glucosa.*

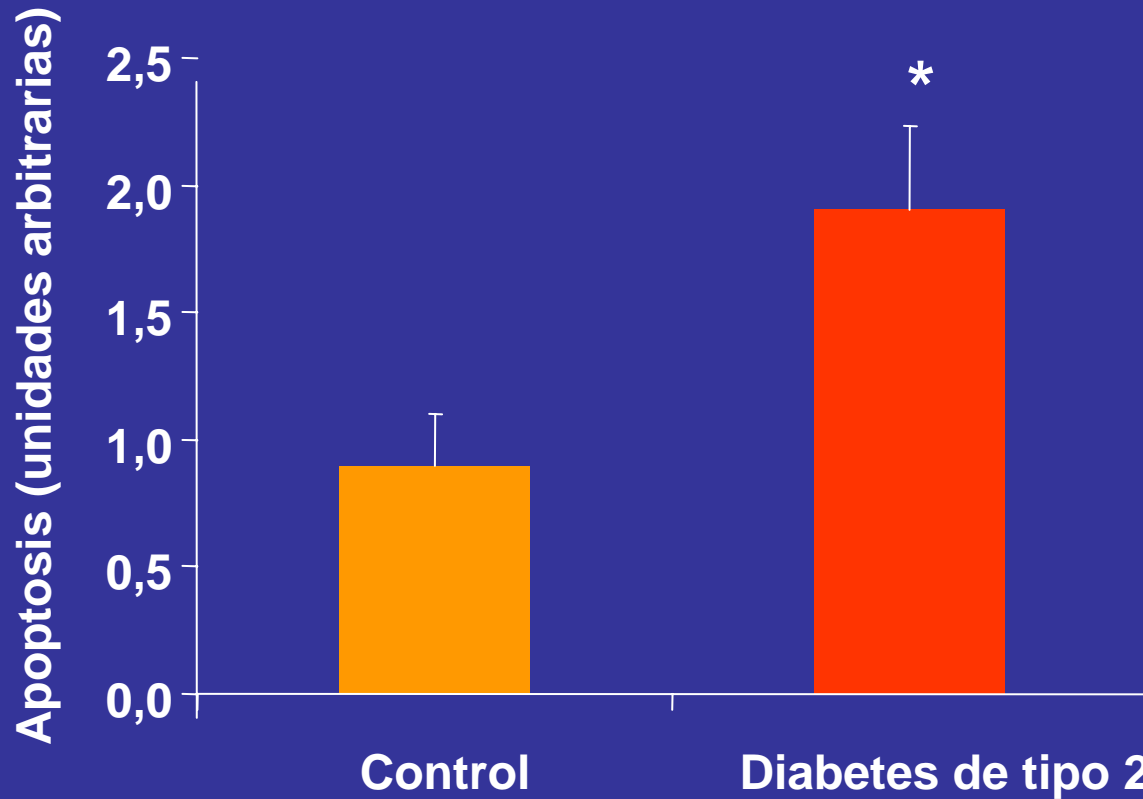
*\*Se muestran las medias geométricas. PI = proinsulina; IIR = insulina inmunorreactiva.*

*Saad MF et al. J Clin Endocrinol Metab. 1990;70:1247-1253.*

# Bajo contenido de insulina en la DM2



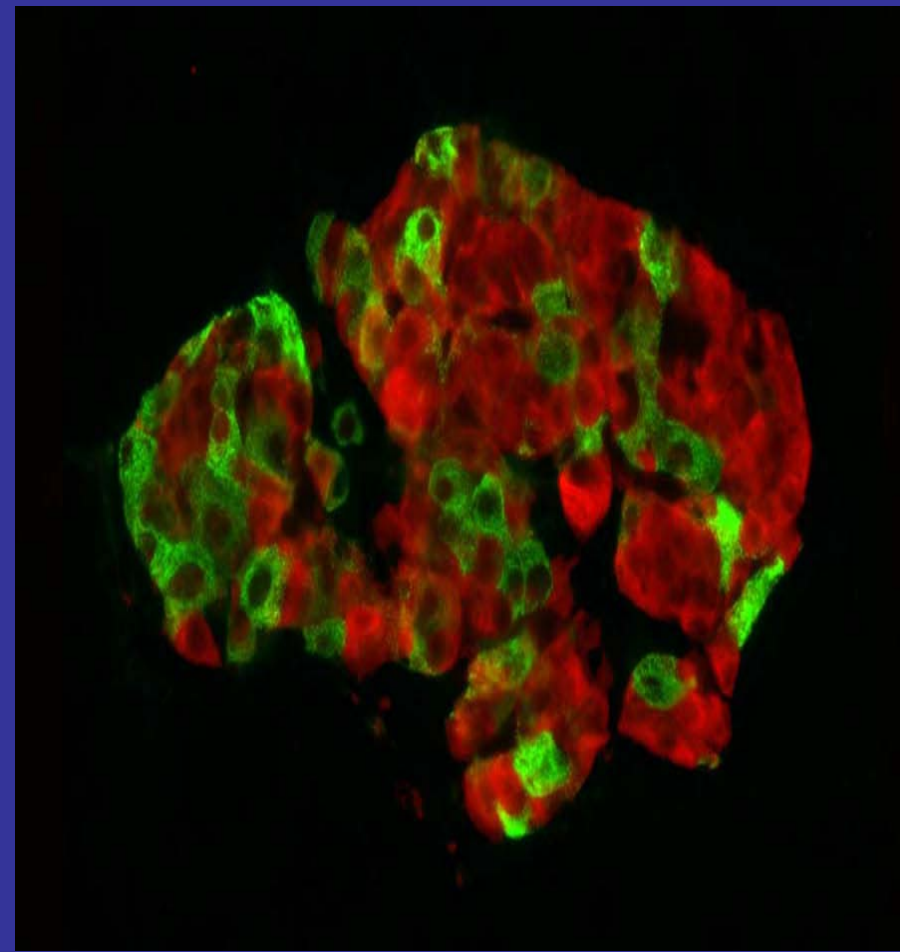
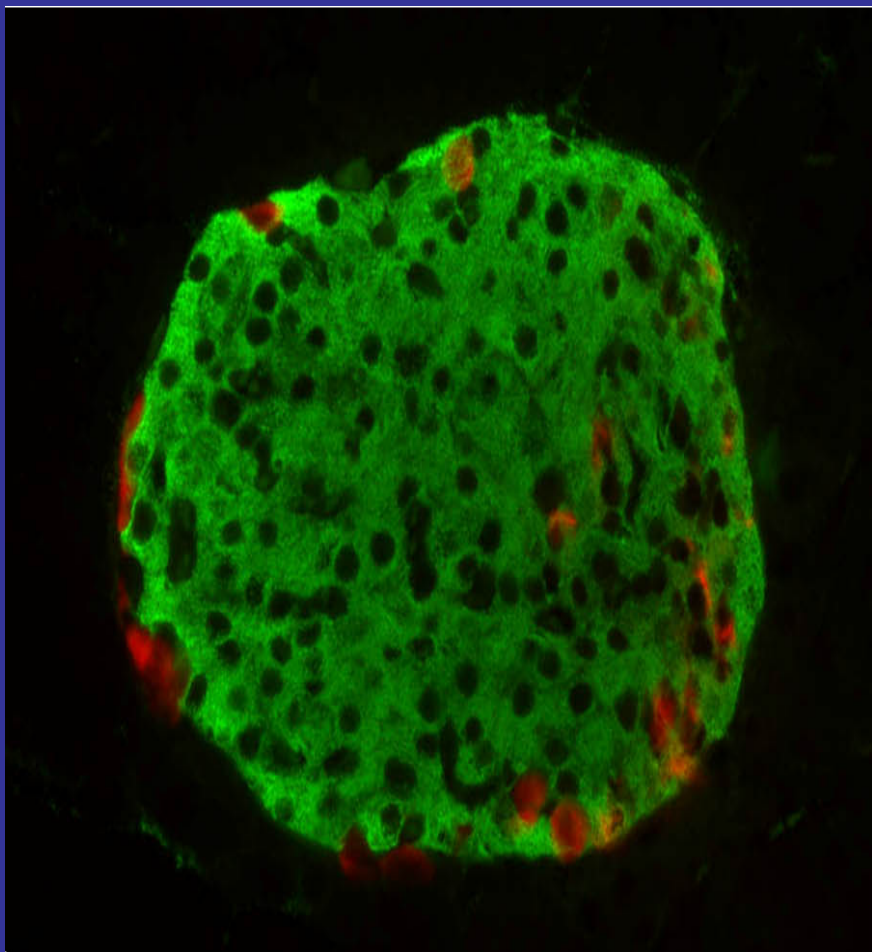
# Aumento de la apoptosis de las células beta en la diabetes de tipo 2



\* $p<0,05$ .

Adaptado de Marchetti P et al. J Clin Endocrinol Metab. 2004;89:5535–5541.

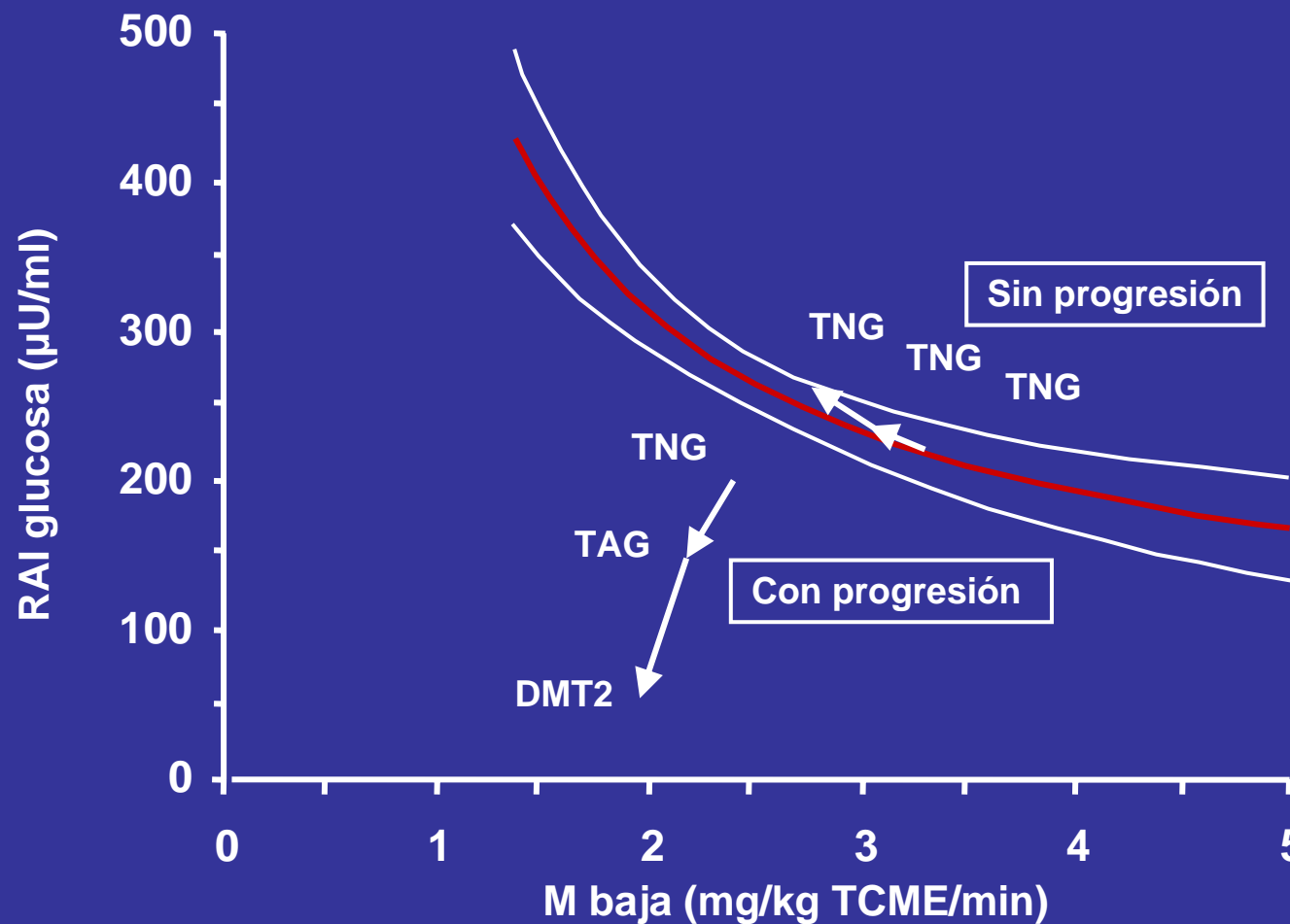
# Descenso células beta, incremento de células alfa



→

Tiempo

# Relación entre la secreción y la acción de la insulina durante la evolución de la DM2

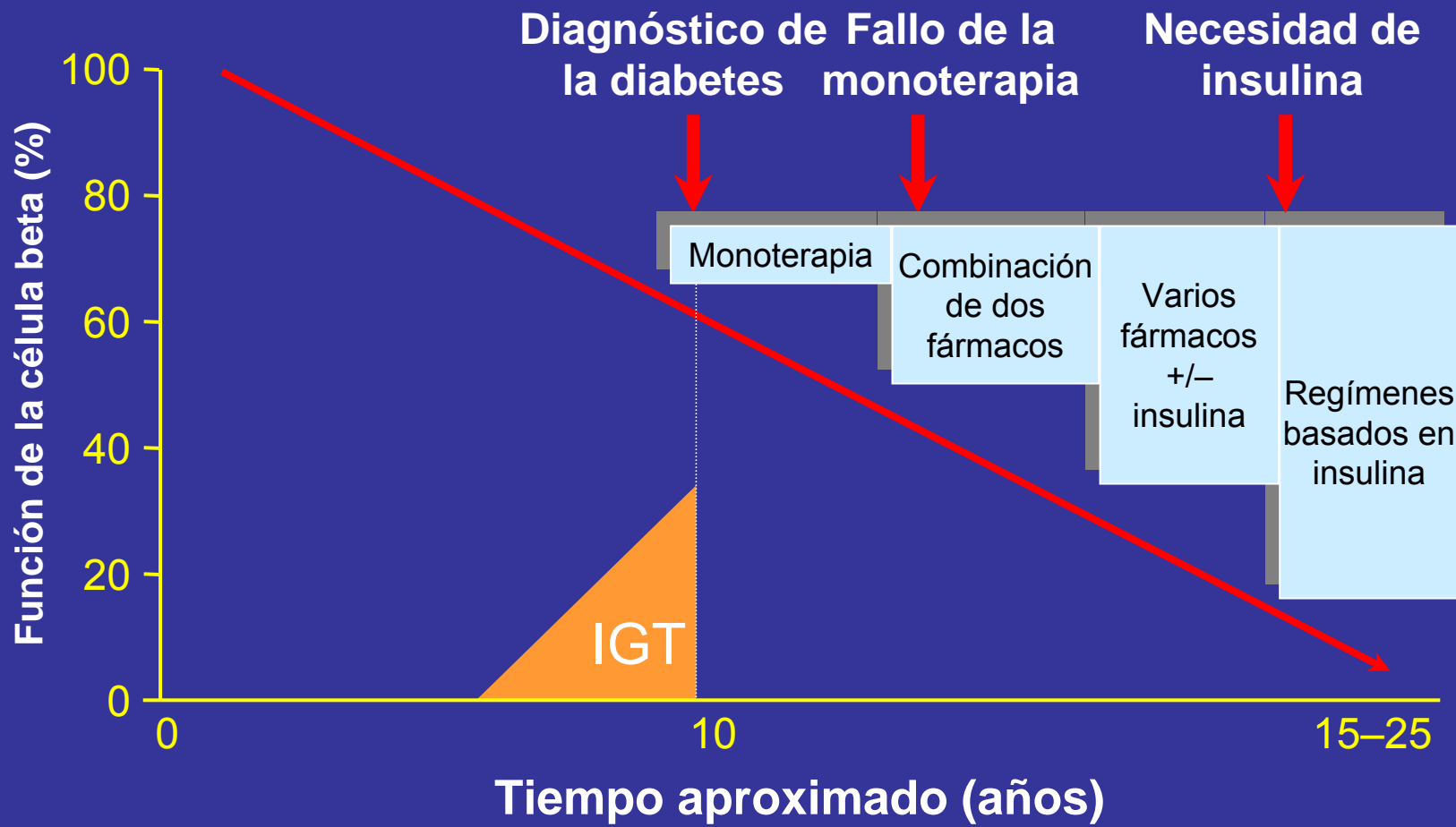


$n = 277$  indios pima; TNG = tolerancia normal a la glucosa; TAG = tolerancia alterada a la glucosa; DMT2 = diabetes mellitus de tipo 2; TCME = tamaño corporal metabólico estimado.

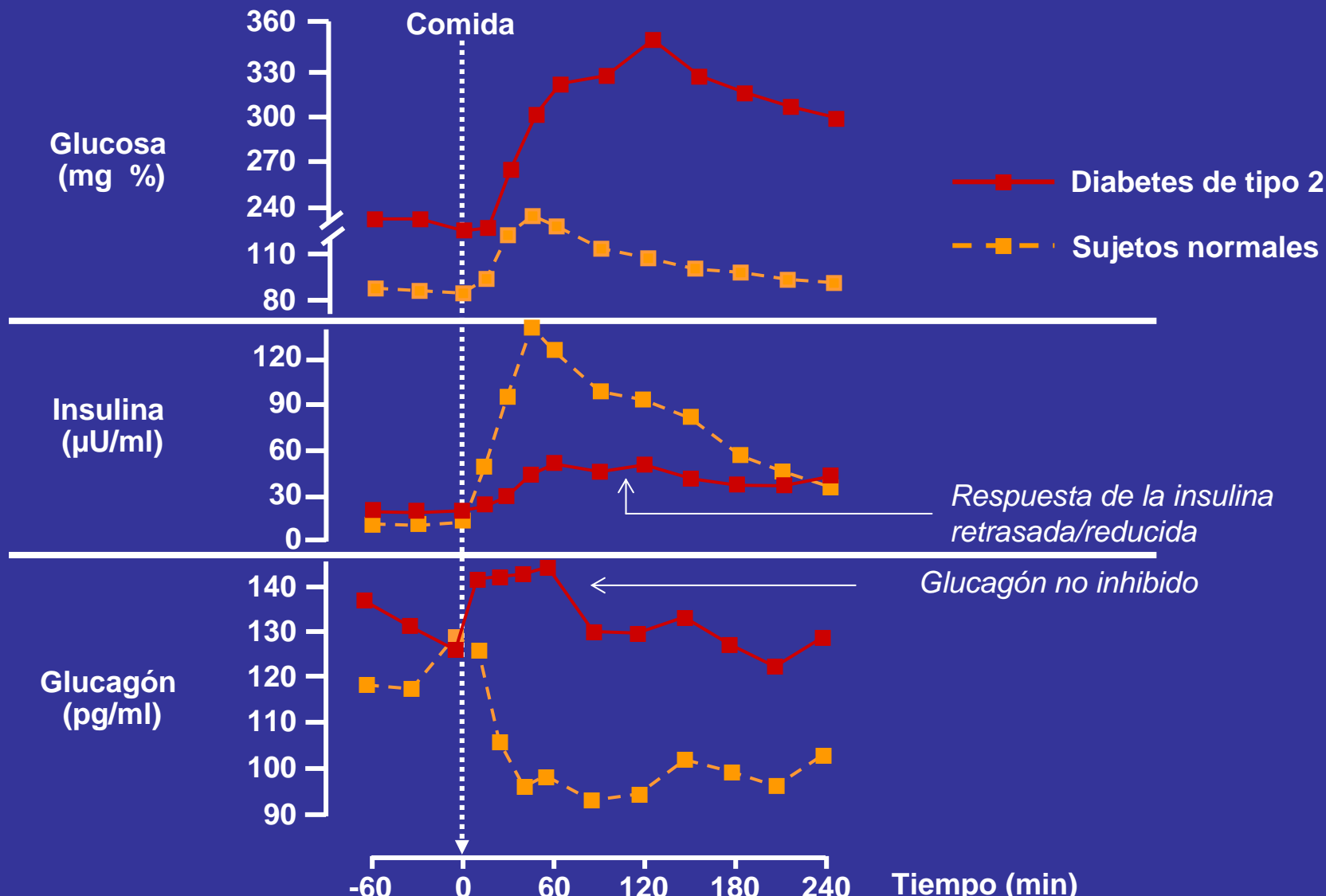
Alteración de la función de las células beta, medida por la respuesta aguda de la insulina a la glucosa (RAI glucosa) en relación a los cambios de la sensibilidad a la insulina, determinada mediante la técnica del pinzamiento a una concentración baja de insulina ( $M$  baja).

Adaptado de Weyer C et al. J Clin Invest. 1999;104:787–794.

# Implicaciones teóricas para la terapia durante la pérdida progresiva de células beta en la diabetes tipo 2



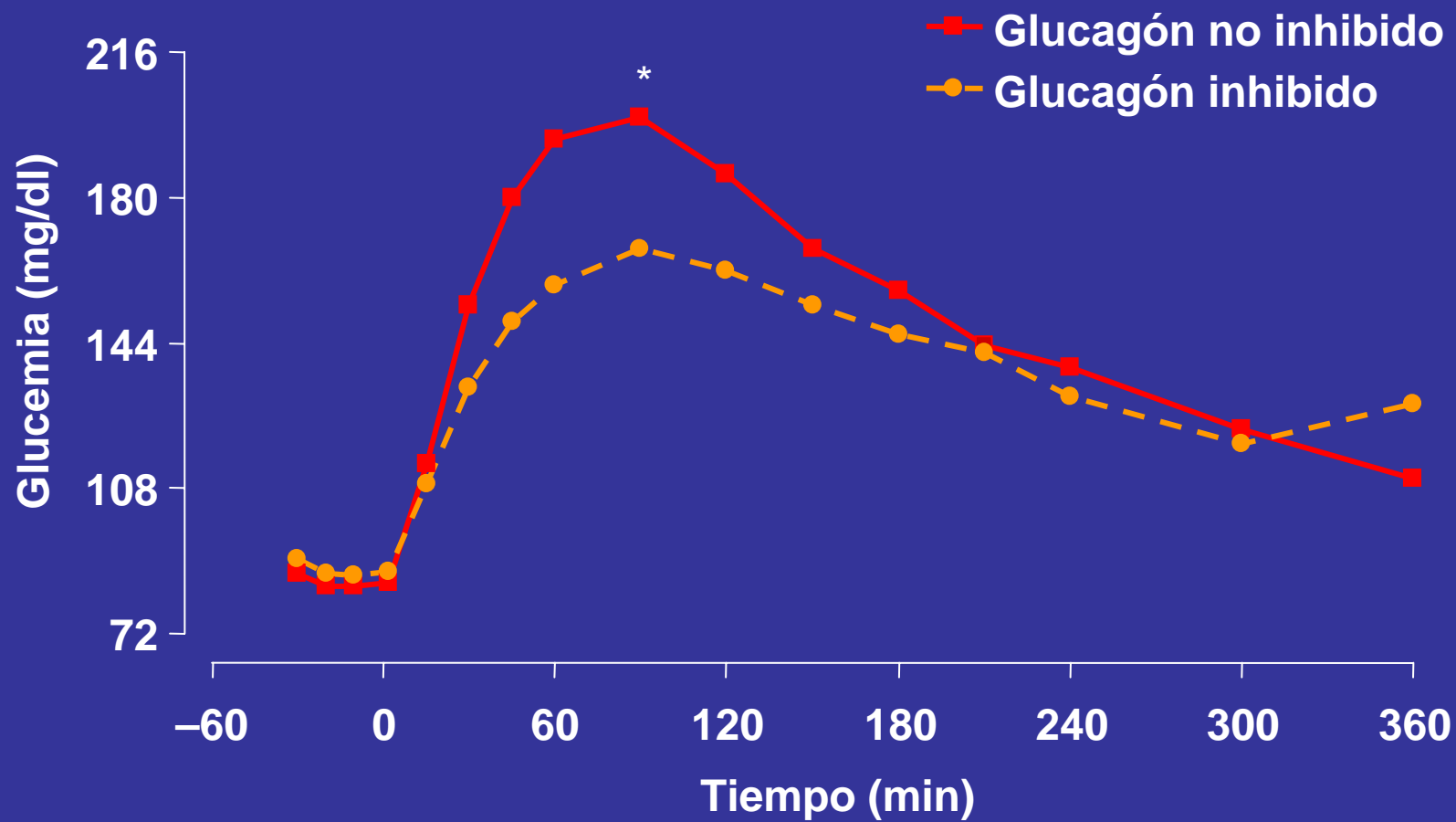
# La dinámica de la insulina y del glucagón en respuesta a la comida es anormal en la DM2



Sujetos normales, n = 11; diabetes de tipo 2, n=12.

Adaptado de Müller WA et al. N Engl J Med. 1970;283:109–115.

# La ausencia de inhibición del glucagón produce hiperglucemia posprandial en la diabetes de tipo 2



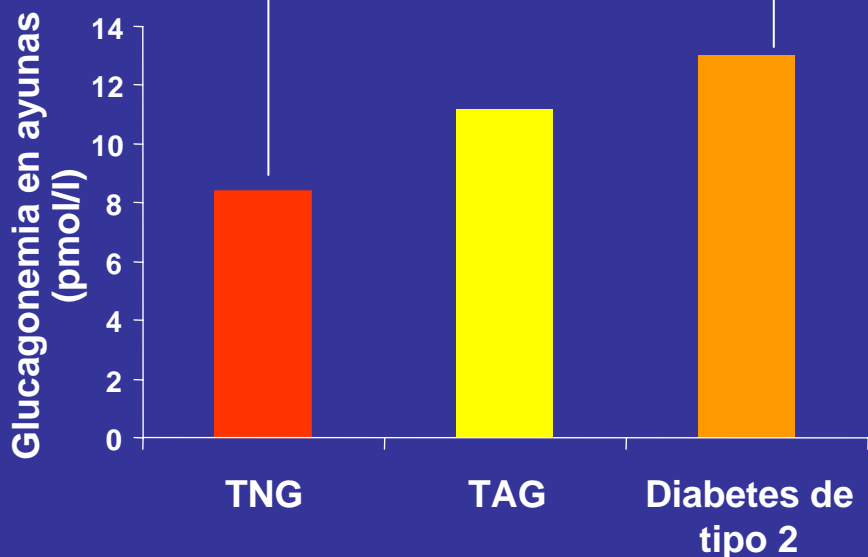
\* $p<0,001$ ;  $n = 9$  (7 varones, 2 mujeres).

Reproducido de Shah P et al. J Clin Endocrinol Metab. 2000;85:4053–4059.

# La glucagonemia en ayunas y posprandial es elevada en los pacientes con tolerancia alterada a la glucosa o con diabetes de tipo 2

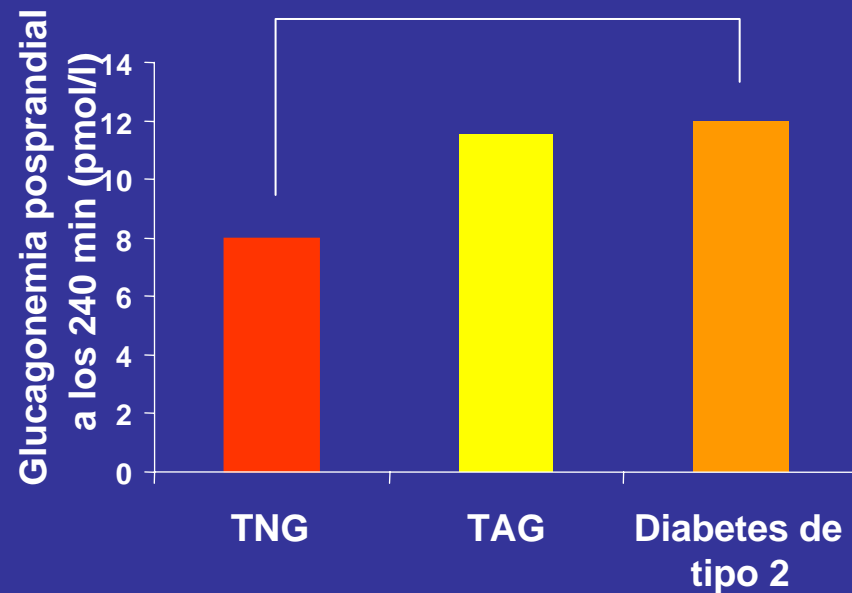
En ayunas

p<0,001



Posprandial

p<0,001



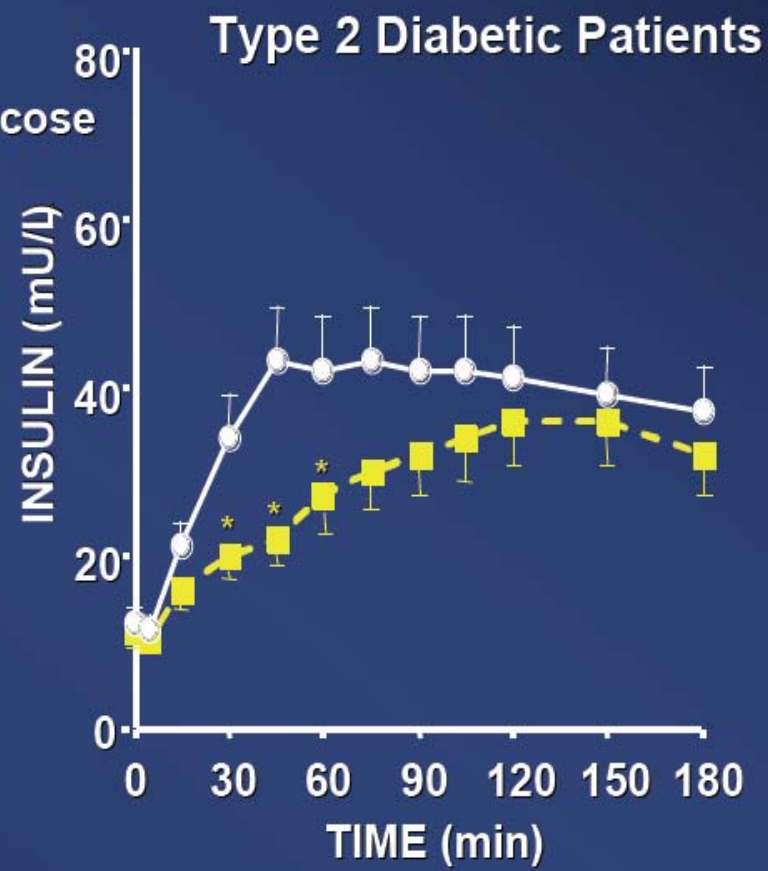
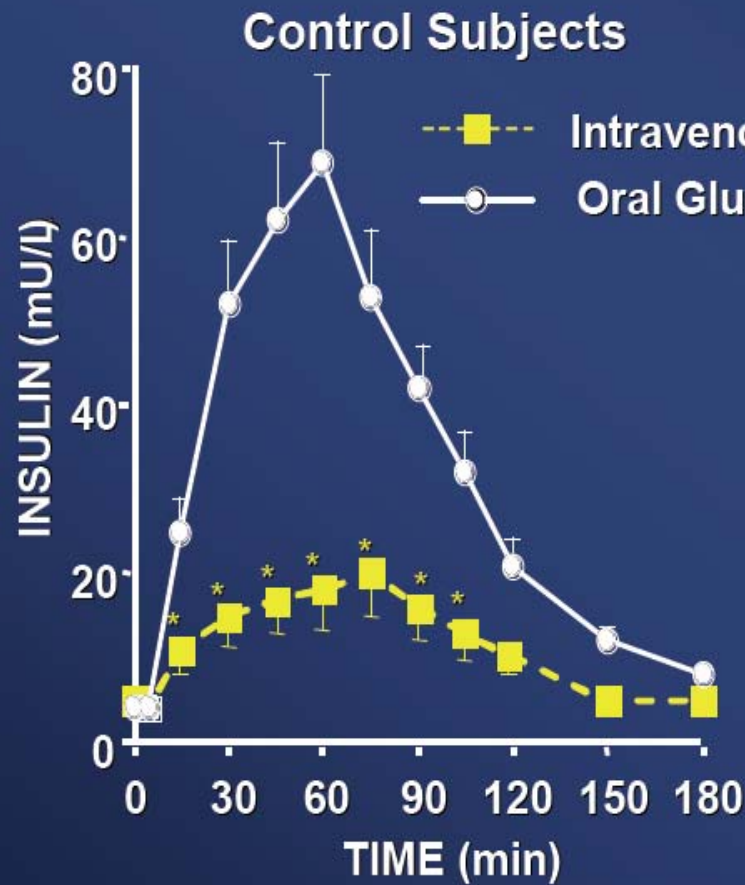
TNG = tolerancia normal a la glucosa, n = 33; TAG = tolerancia alterada a la glucosa, n = 15;  
DMT2 = diabetes mellitus de tipo, n=54.

Toft-Nielsen M-B et al. J Clin Endocrinol Metab. 2001;86:3717–3723.

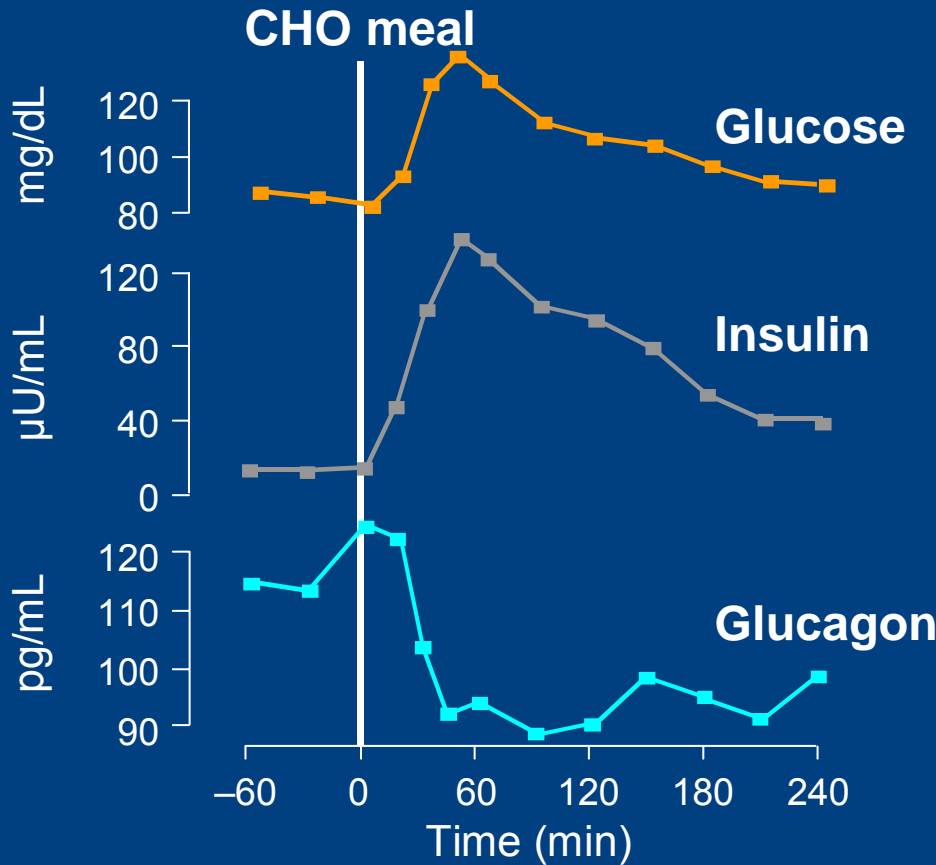
# Type 2 Diabetes is a Multi-Hormonal Disease

- Pancreatic hormones
  - Insulin (b-cell)
  - Glucagon (a-cell)
  - Amylin (b-cell)
- Intestinal Hormones (Incretins)
  - GLP-1 (L-cells)
  - GIP (K-cells)

# Reduced Incretin Effect in Type 2 Diabetic patients

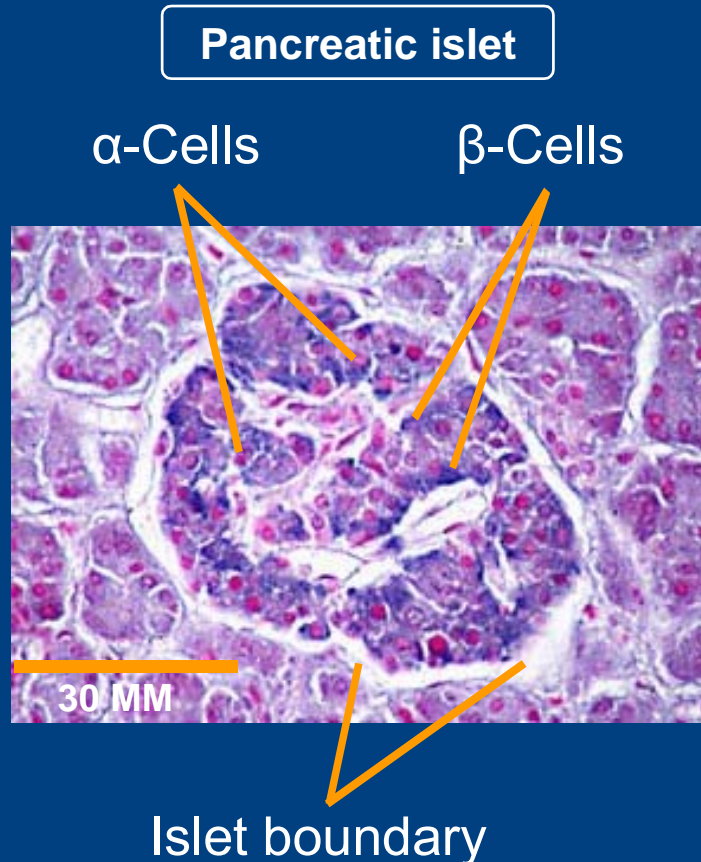


# Reciprocal Response of Insulin and Glucagon in Postprandial Period in Persons Without Diabetes



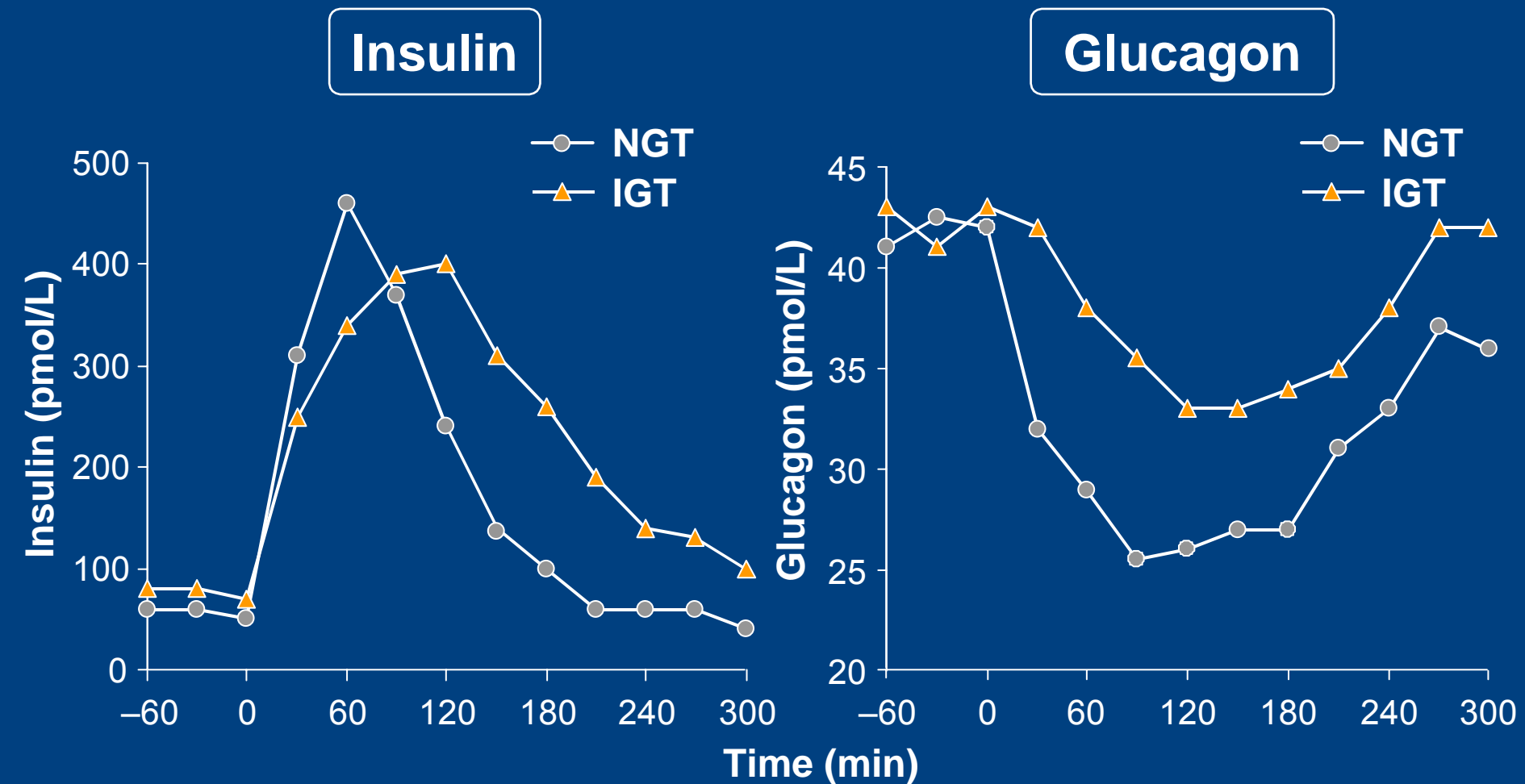
CHO = carbohydrate

Unger RH. *N Engl J Med.* 1971;285:443-449.

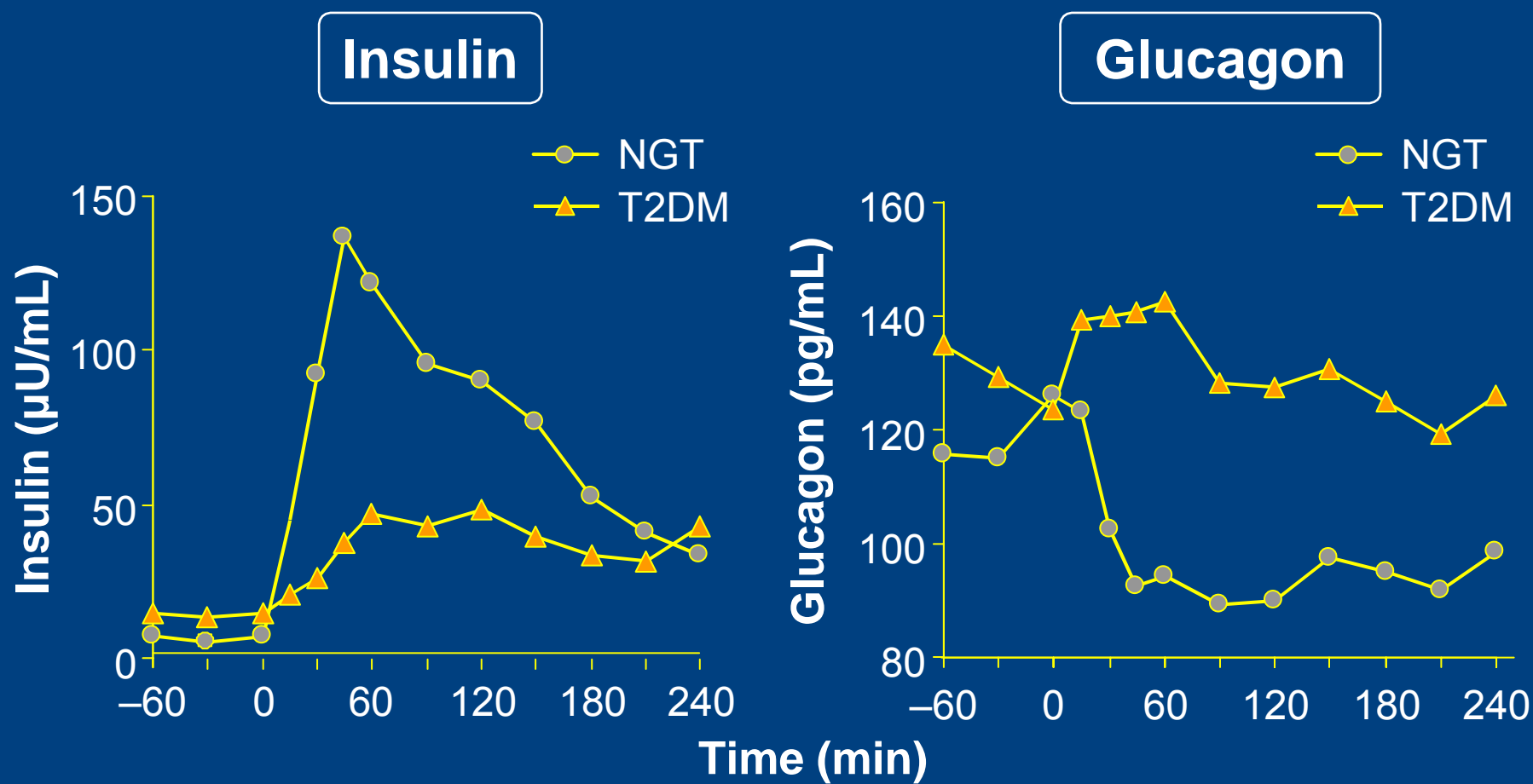


Photomicrograph courtesy of Michael Sarras, PhD,  
Rosalind Franklin University of Medicine and Science.

# Inappropriate Insulin and Glucagon Responses to Glucose in Individuals With IGT



# Inappropriate Insulin and Glucagon Responses to Glucose in Patients With T2DM



# **El eje de las incretinas: Potencial papel terapéutico**

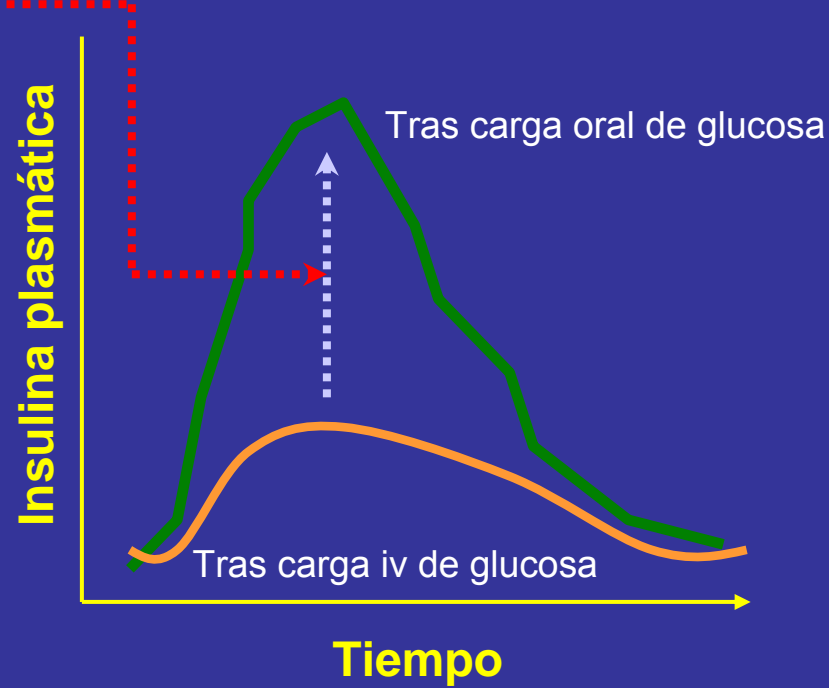
# Incretinas

- Incretinas
  - Hormonas insulinotrópicas, procedentes de la mucosa intestinal
  - Liberadas en respuesta a la ingesta; estimulan la secreción de insulina

# Explicación fisiológica de la respuesta a las incretinas

Incretinas

- GLP-1
- GIP
- ? Otras incretinas



IV=intravenoso

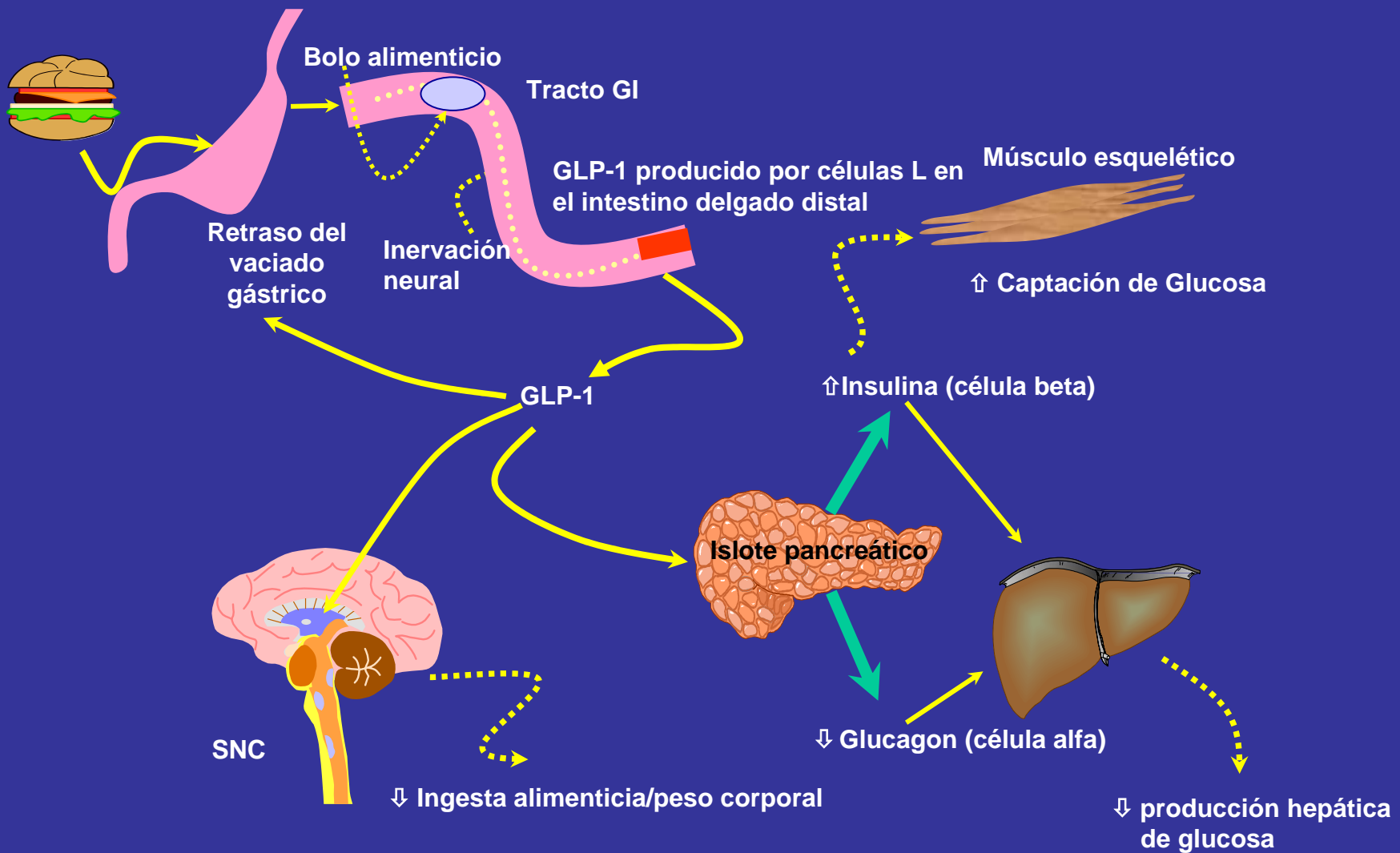
Adaptado de Vilsbøll T, Holst JJ *Diabetologia* 2004;47:357–366; Brubaker PL, Drucker DJ *Endocrinology* 2004;145:2653–2659.

# **Características del GLP-1**

- **Potencia la secreción de insulina por parte de la célula beta pancreática, de forma dependiente de la glucosa**
- **Promueve la formación de células beta**
- **Inhibe la apoptosis de las células beta**
- **Inhibe**
  - **Secreción de glucagón**
  - **Motilidad y secreción gastrointestinal**
  - **Apetito e ingesta**

*Adaptado de Ahrén B Curr Diab Rep 2003;3:365–372; Holst JJ Diabetes Metab Res Rev 2002;18:430–441; Vilsbøll T, Holst JJ et al Diabetologia 2004;47:357–366.*

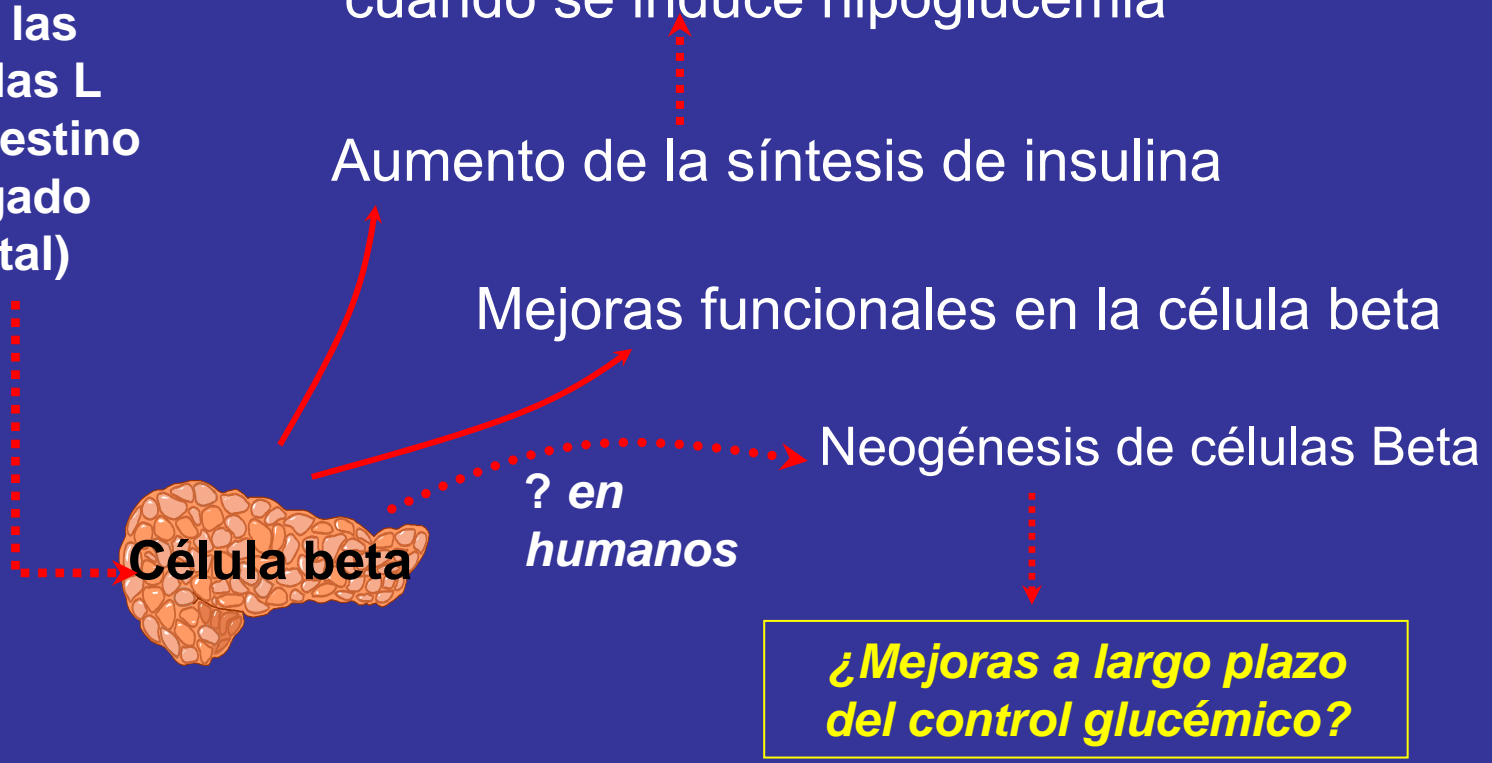
# Regulación y acciones del GLP-1



GI=gastrointestinal; SNC=sistema nervioso central

# GLP-1: Efectos potenciales sobre las células beta

GLP-1  
(producido  
por las  
células L  
del intestino  
delgado  
distal)



# Resumen

- La célula beta en la diabetes tipo 2: un importante objetivo terapéutico
- El eje de las incretinas: potencial papel terapéutico
- Inhibición de la DPP-4 y GLP-1 como estrategias terapéuticas

*GLP-1=péptido similar al glucagón 1; DPP-4=dipeptidil peptidasa IV*

*Adaptado de UKPDS Group Diabetes 1995;44:1249–1258; Buchanan TA Clin Ther 2003;25(suppl B):B32–B46; Vilsbøll T, Holst JJ Diabetologia 2004;47:357–366.*

# Inactivación del GLP-1

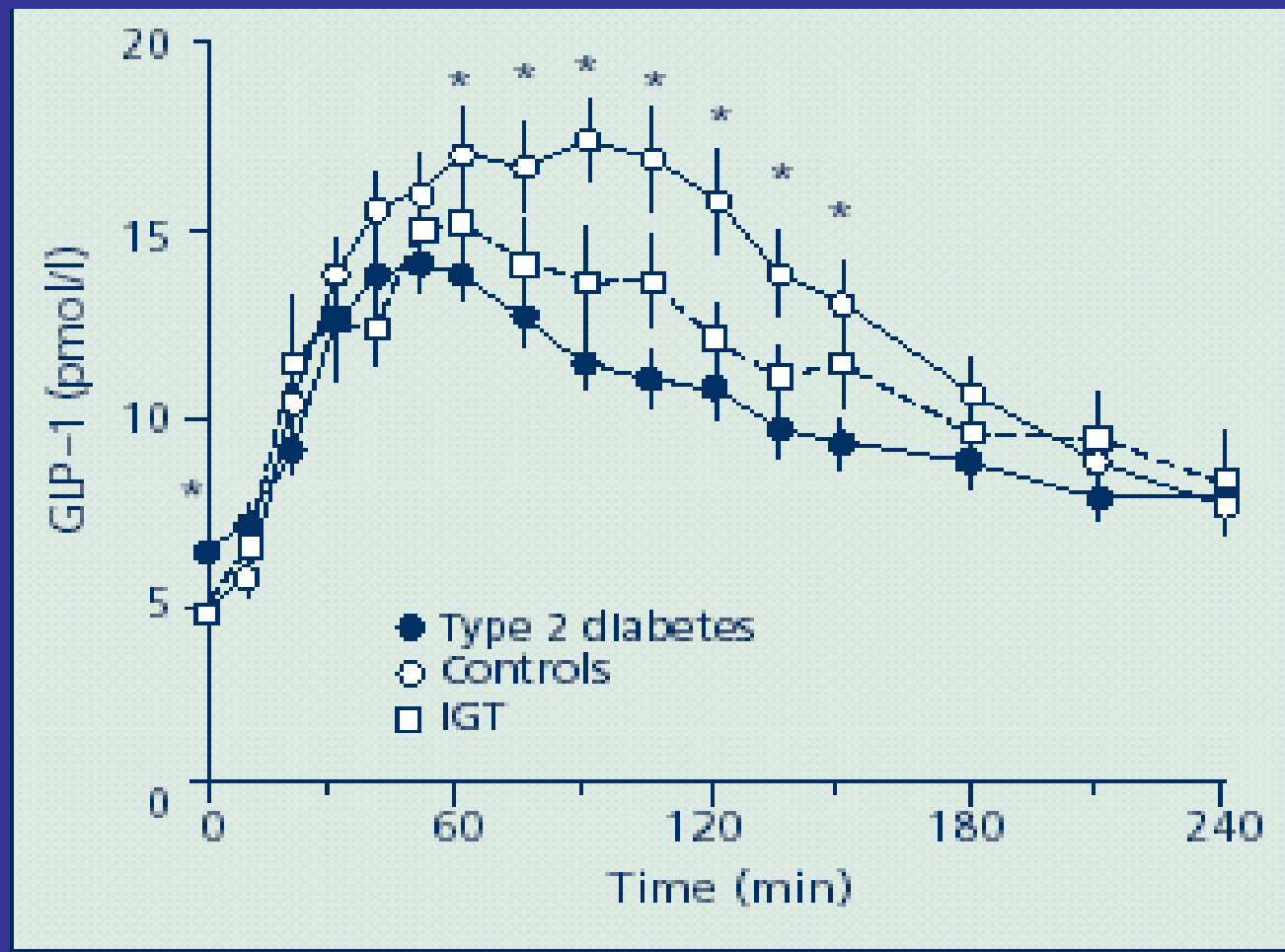
GLP-1

DPP-4 secciona  
los aminoácidos N-terminal

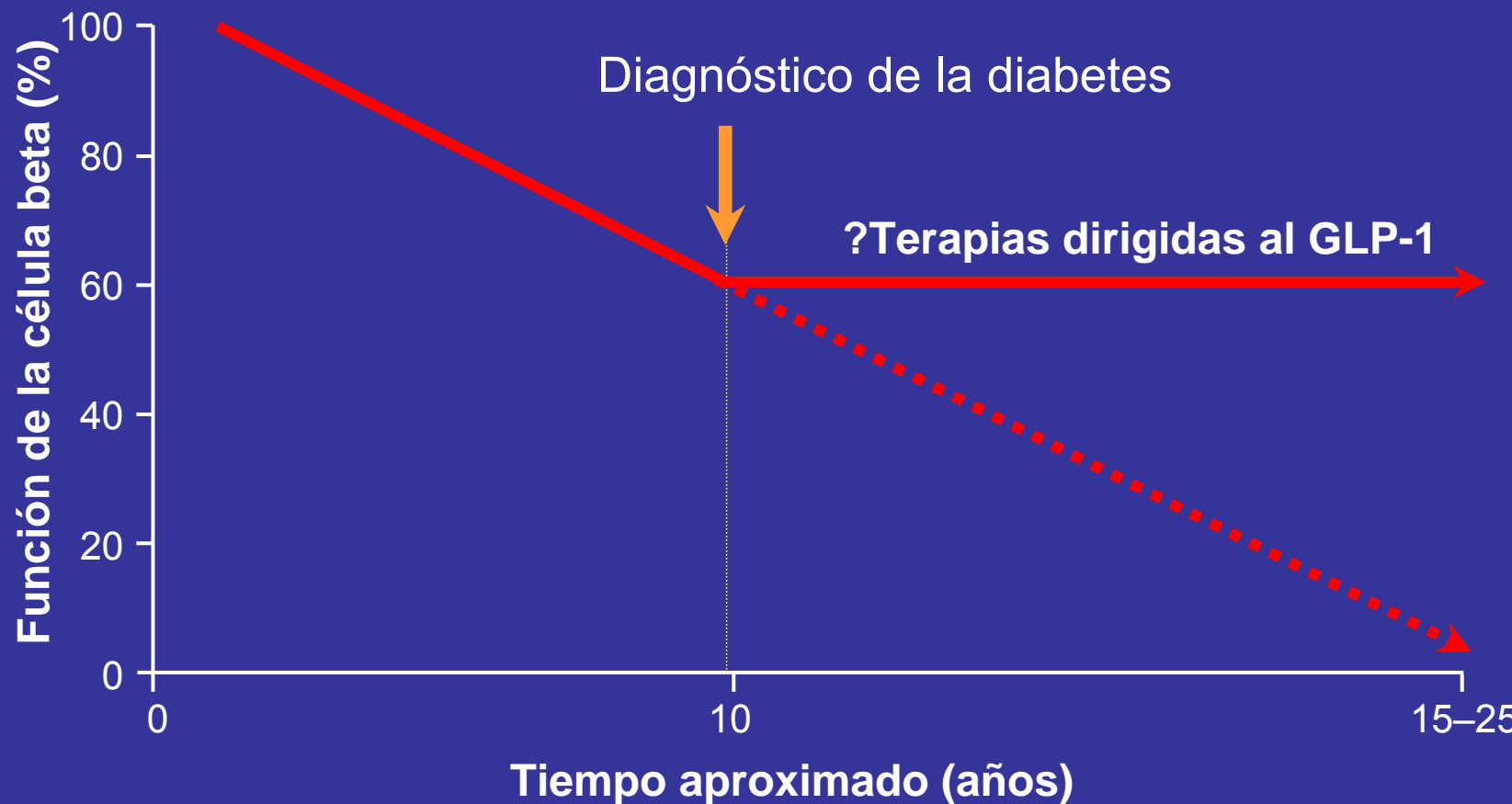
GLP-1  
Inactivo

Adaptado de Ahrén B *Curr Diabetes Rep* 2003;3:365–372;  
Deacon CF et al *J Clin Endocrinol Metab* 1995;80:952–957;  
Weber AE *J Med Chem* 2004;47:4135–4141.

# GLP-1 release following meal: comparison of control, T2DM & IGT



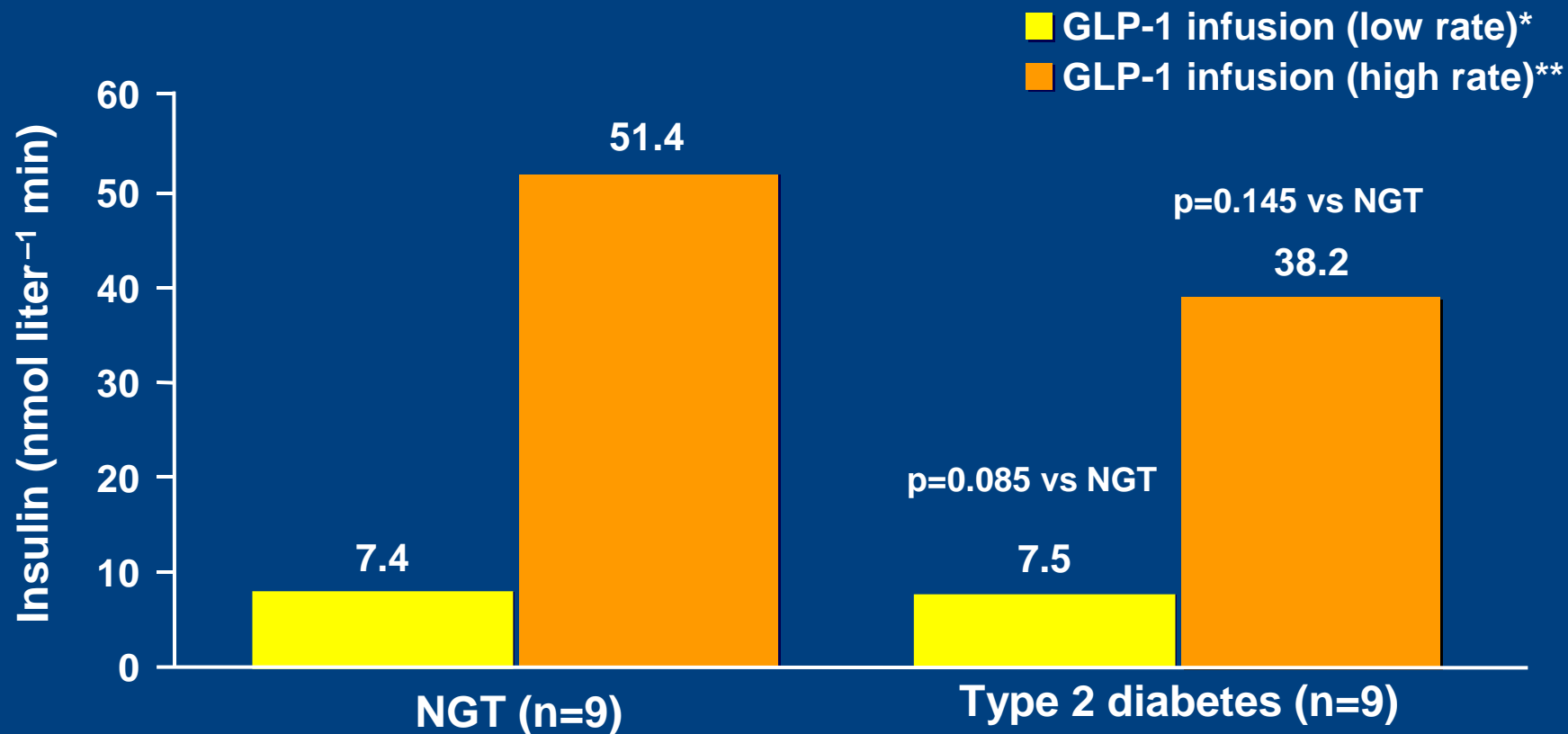
# Potencial del tratamiento basado en GLP-1 para preservar el islete pancreático y revertir la historia natural de la diabetes tipo 2



Adaptado de UKPDS Group *Diabetes* 1995;44:1249–1258; Porte D Jr, Kahn SE *Diabetes* 2001;50 (suppl 1):S160–S163; Brubaker PL, Drucker DJ *Endocrinology* 2004;145(6):2653–2659.

# **Administración de GLP-1 e inhibición de la DPP-4 como estrategias terapéuticas**

# GLP-1 Action Is Preserved in Type 2 Diabetes



\*Low rate=0.4 pmol kg<sup>-1</sup> min<sup>-1</sup>.

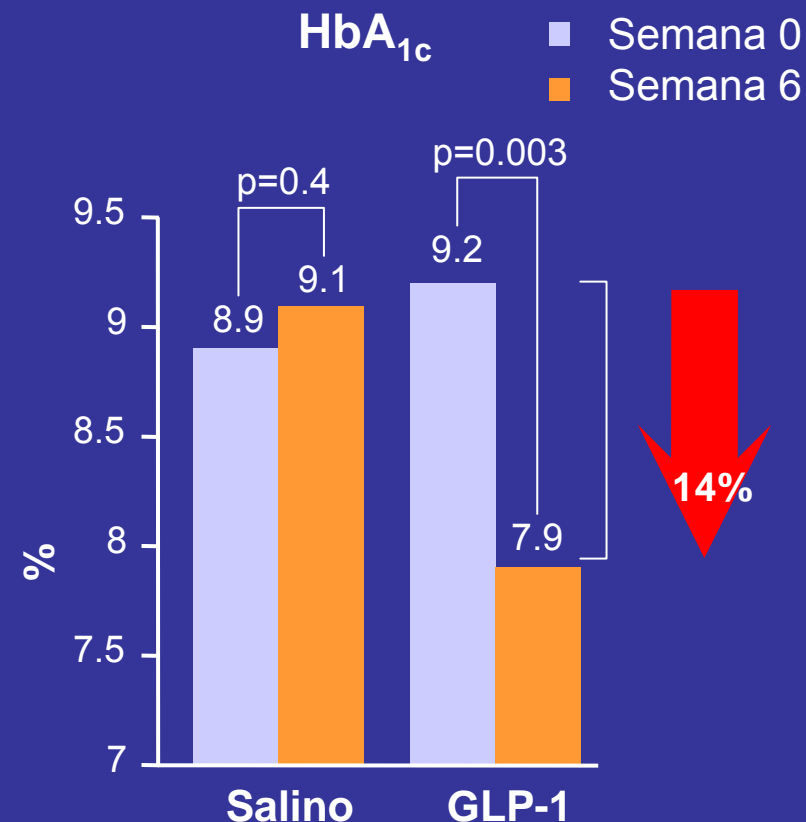
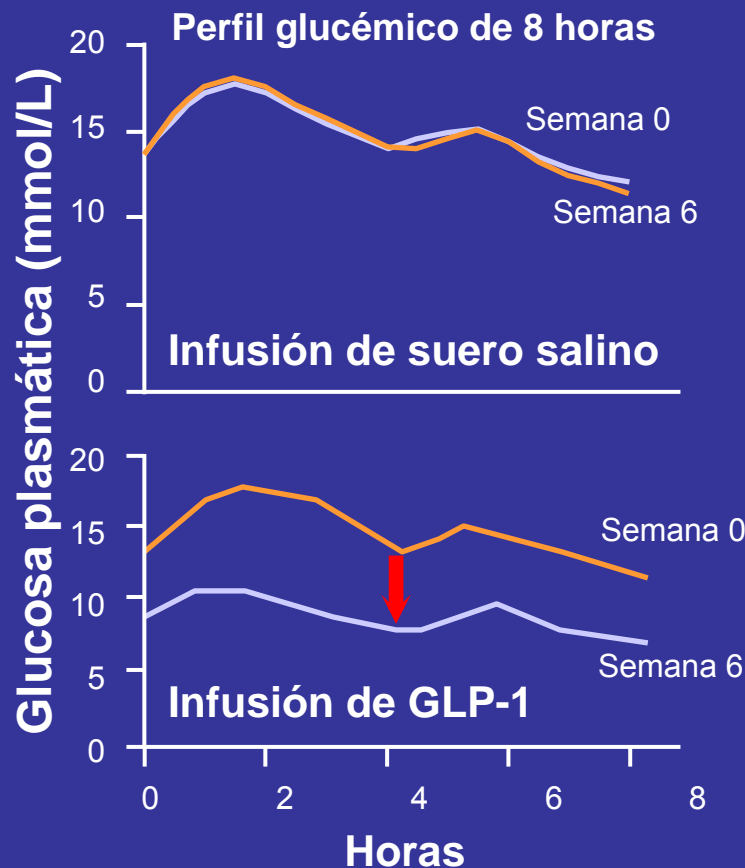
\*\*High rate=1.2 pmol kg<sup>-1</sup> min<sup>-1</sup>.

NGT=normal glucose tolerance.

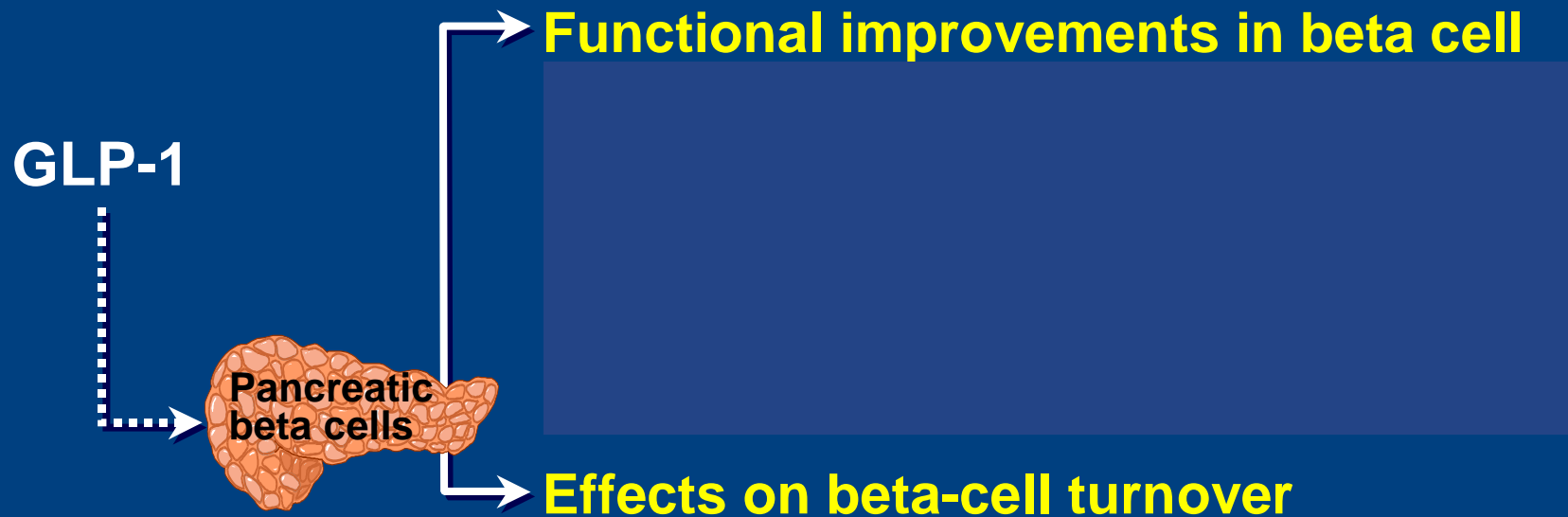
Nauck MA et al. *J Clin Invest.* 1993;91:301–307.

# Mejora rápida y marcada en el control glucémico tras la infusión de GLP-1

Diseño: 20 pacientes con diabetes tipo 2 inadecuadamente controlada tratados con una infusión subcutánea de suero salino ( $n=10$ ) o GLP-1 ( $n=10$ ) durante 6 semanas



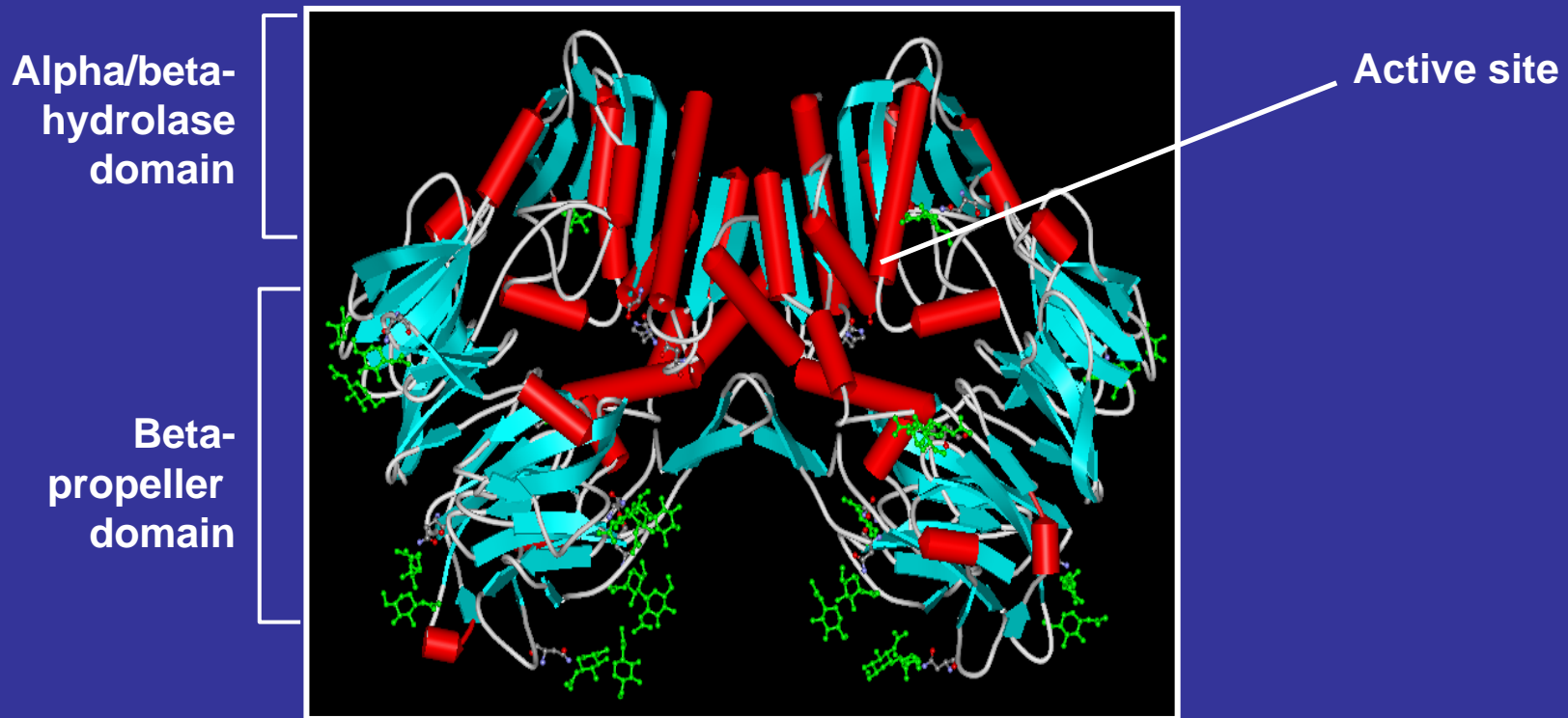
# GLP-1 Improves Multiple Aspects of Beta-Cell Function and Turnover



\*\*\*In vitro and ex vivo studies in rodent models.

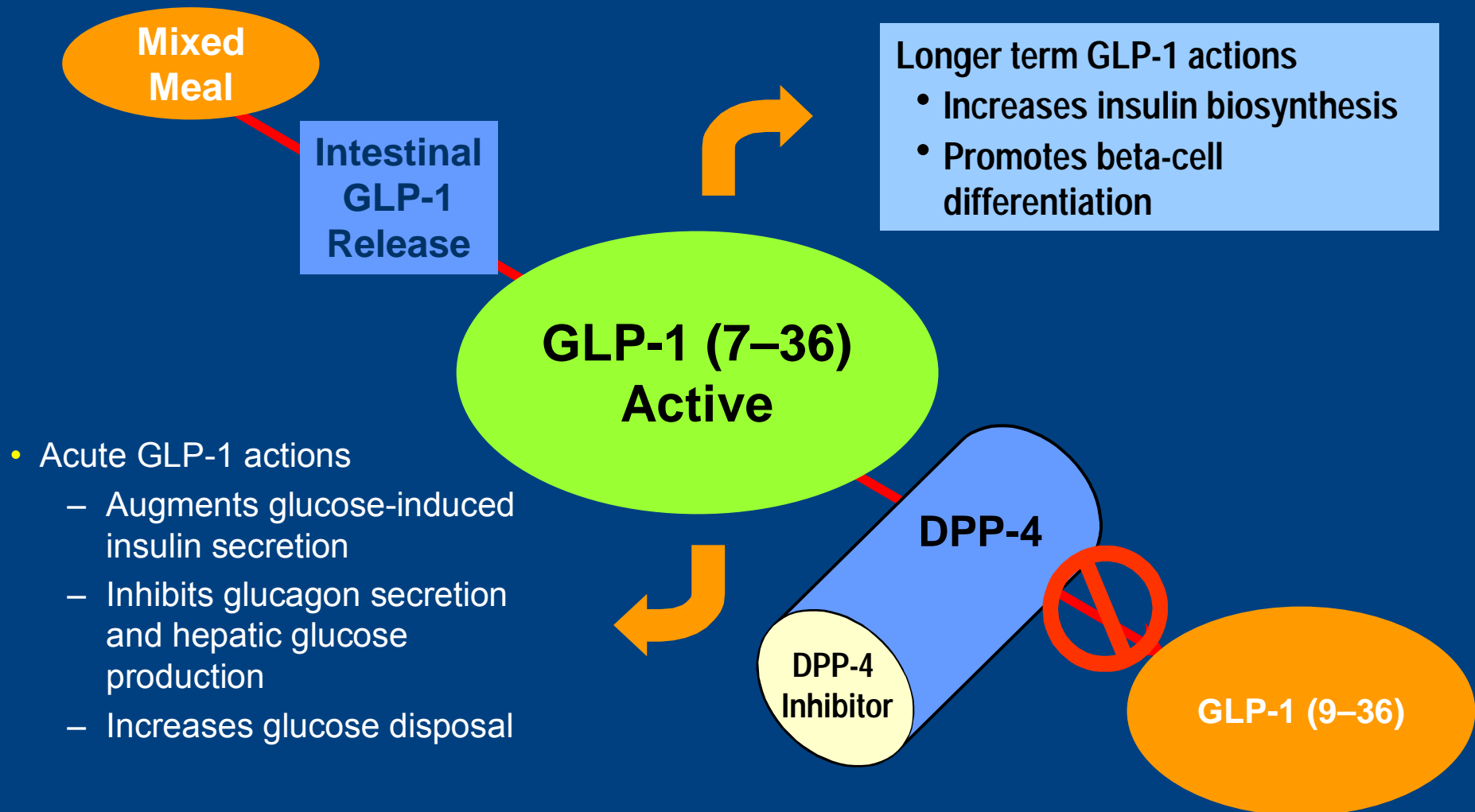
Quddusi S et al. *Diabetes Care*. 2003;26:791–798; Drucker DJ. *Mol Endocrinol*. 2003;17:161–171; Holz GG, Chepurny OG. *Curr Med Chem*. 2003;10:2471–2483; Zhou J et al. *Diabetes*. 1999;48:2358–2366; Farilla L et al. *Endocrinology*. 2002;143:4397–4408; Tourrel C et al. *Diabetes*. 2001;50:1562–1570.

# Dipeptidyl Peptidase 4 (DPP-4)



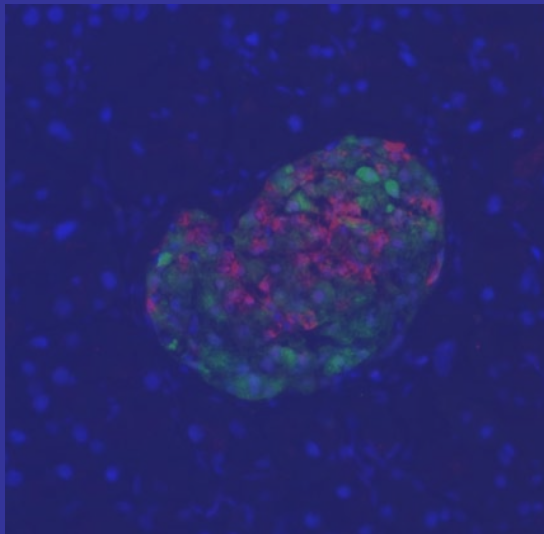
- DPP-4 is a serine protease of the prolyl oligopeptidase enzyme family that exists in 2 forms
  - Membrane-bound
  - Soluble

# Inhibition of DPP-4 Increases Levels of Intact Biologically Active GLP-1

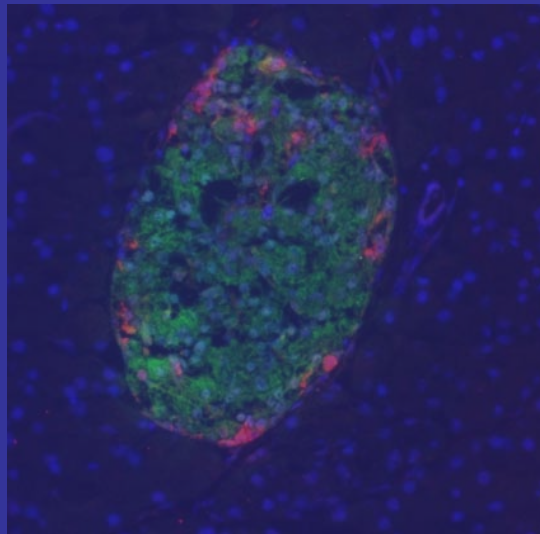


# DPP-4 Inhibitor Restored Pancreatic Islet Beta Cells in Diabetic Mice

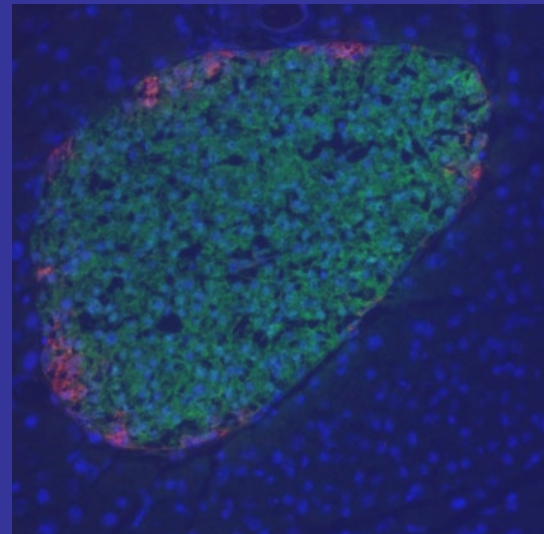
Diabetic mouse



Diabetic mouse +  
DPP-4 inhibitor



Lean control mouse

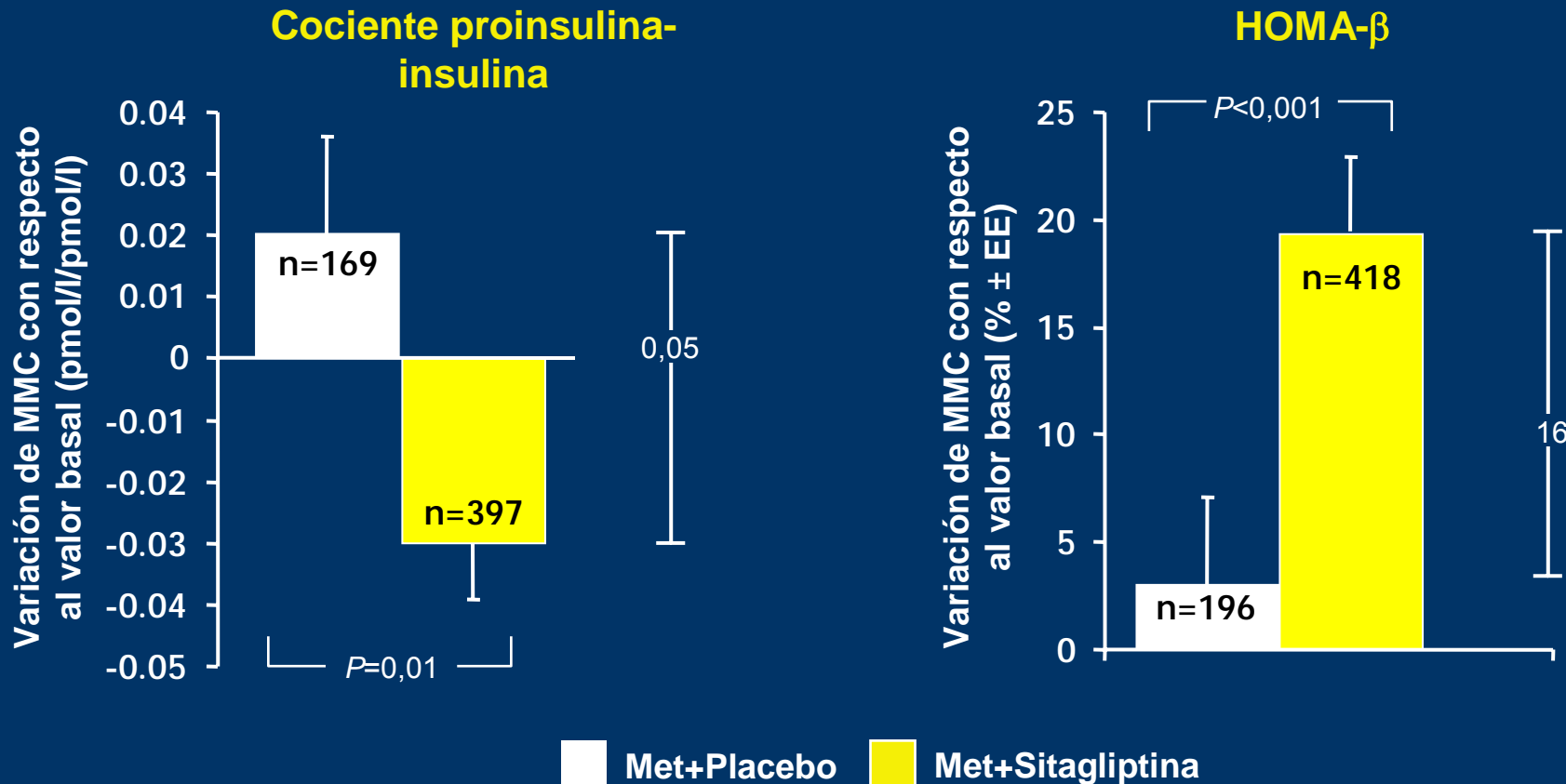


Green: Insulin-producing beta cell

Red: Glucagon-producing alpha cell

*Estudio de 24 semanas de tratamiento añadido a metformina*

# Mediciones de la función de las células beta en la semana 24



Basal: cociente proinsulina-insulina (sitagliptina = 0,357 pmol/l/pmol/l, placebo = 0,369 pmol/l/pmol/l),  
HOMA- $\beta$  (sitagliptin = 46,4%, placebo = 45,1%)

Población de todos los pacientes según el tratamiento recibido

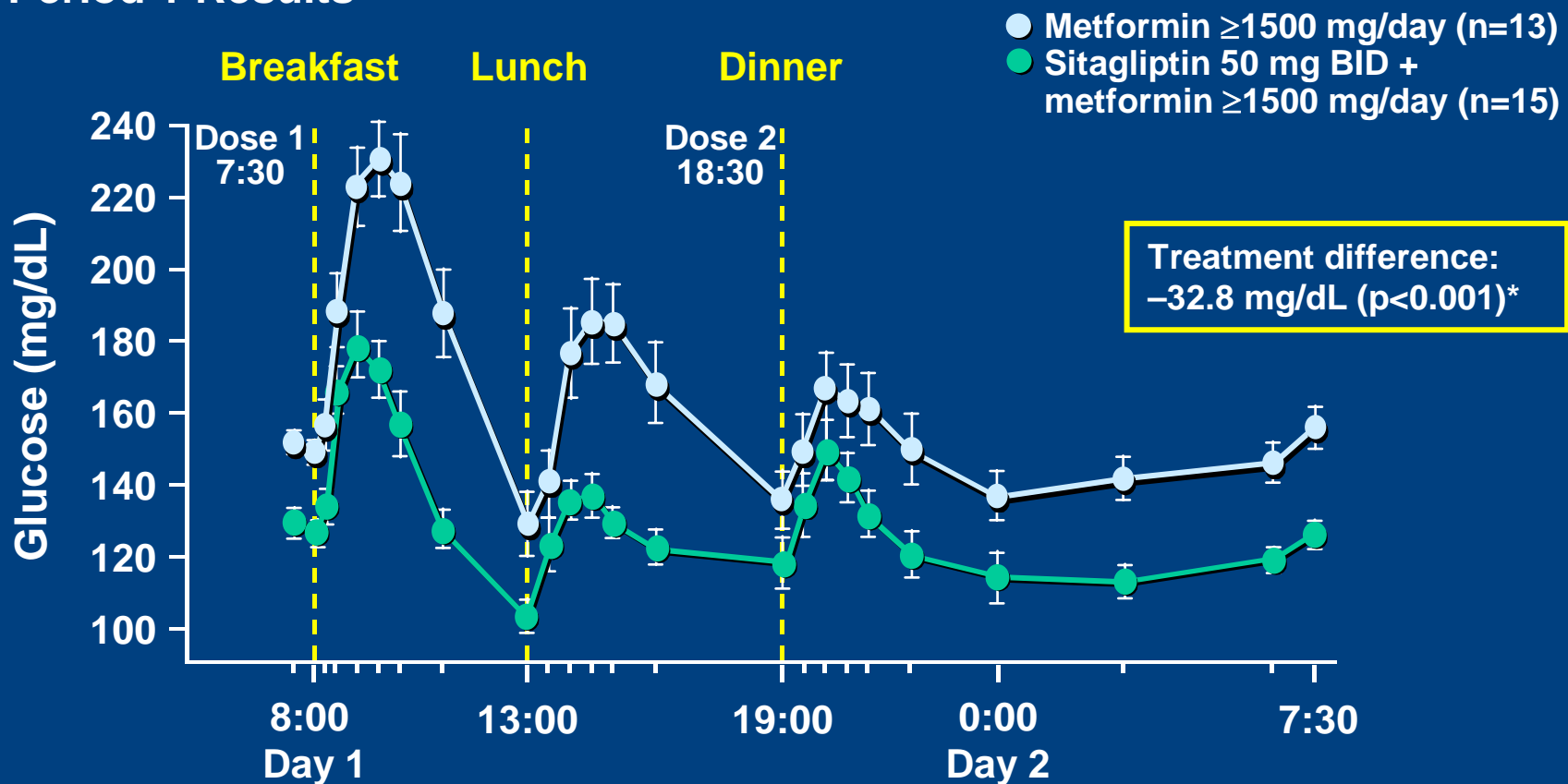
MMC = media de mínimos cuadrados; HOMA- $\beta$  = homeostasis model assessment- $\beta$

Charbonnel et al. *Diabetes Care*. 2006;29:2638–2643.

*Add-On Therapy to Metformin Study*

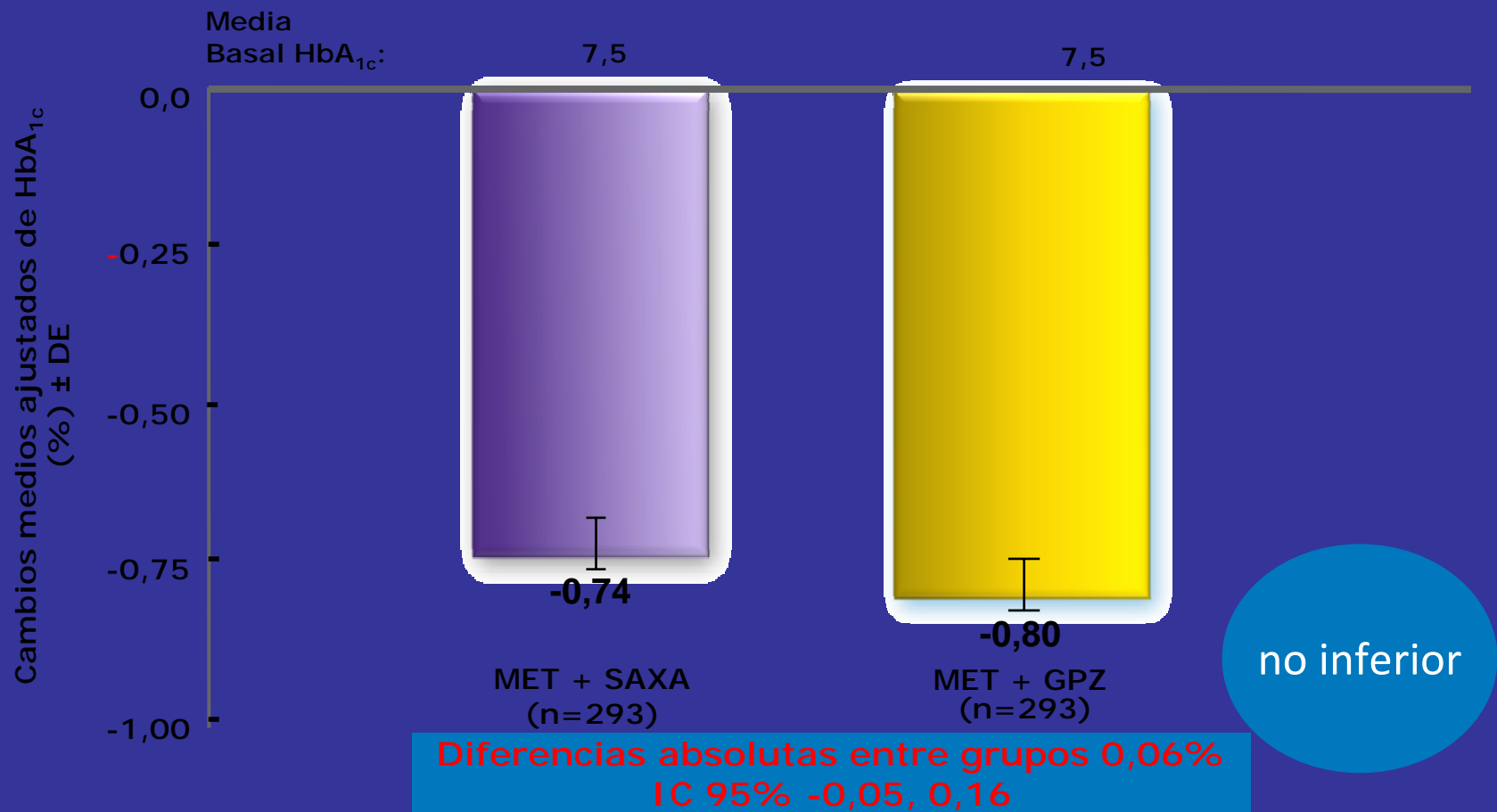
# Sitagliptin Improved 24-Hour Glucose Profile vs Metformin Alone

## Period 1 Results

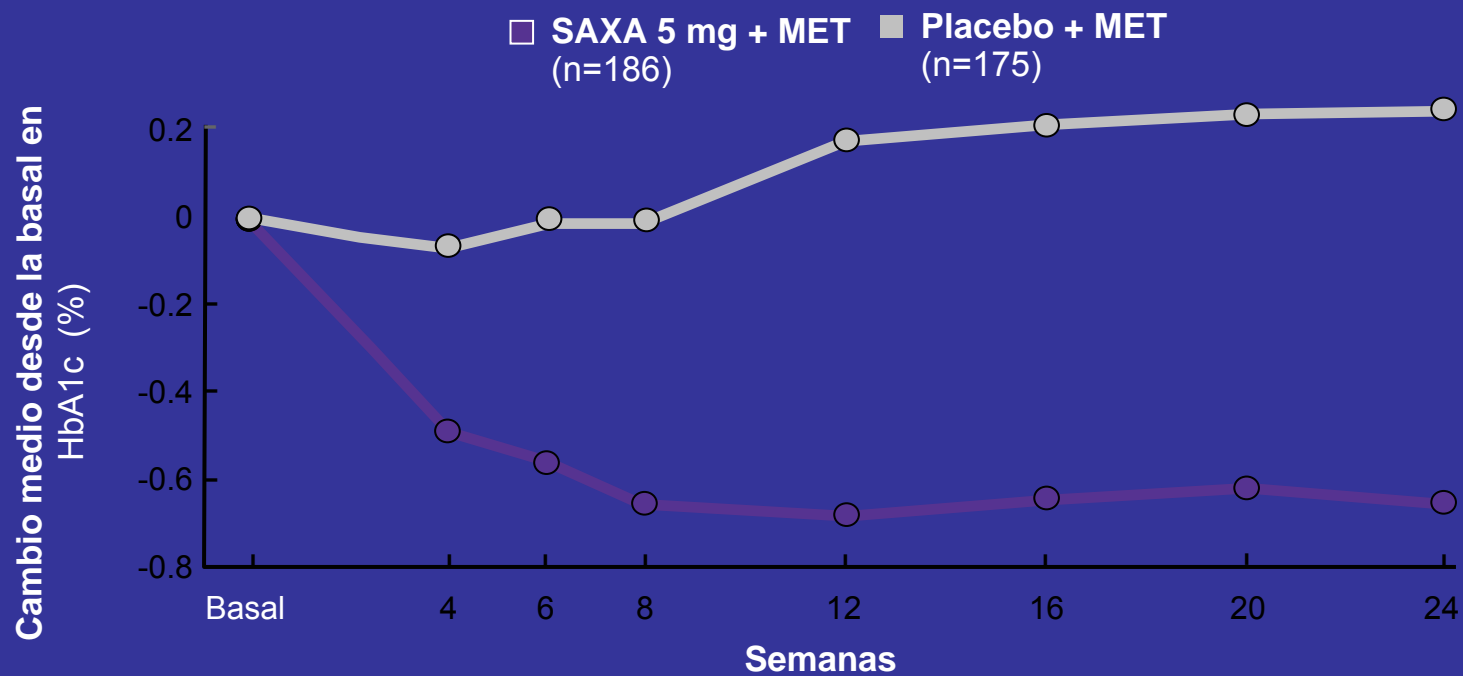


\*Least-squares mean difference in weighted mean glucose.

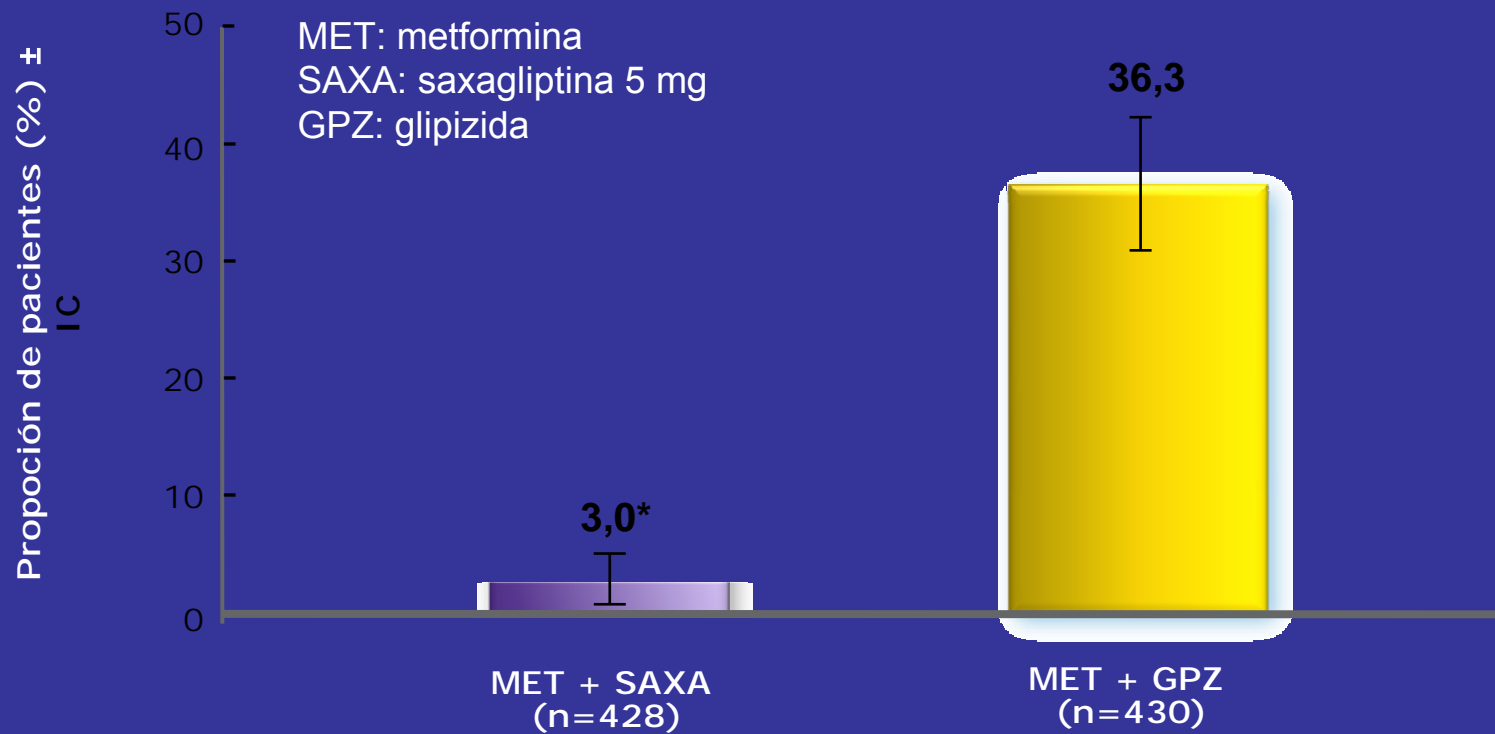
Adapted from Brazg RL et al. Poster presented at the 65th Annual Scientific Sessions of the American Diabetes Association; June 10–14, 2005; San Diego, Calif.



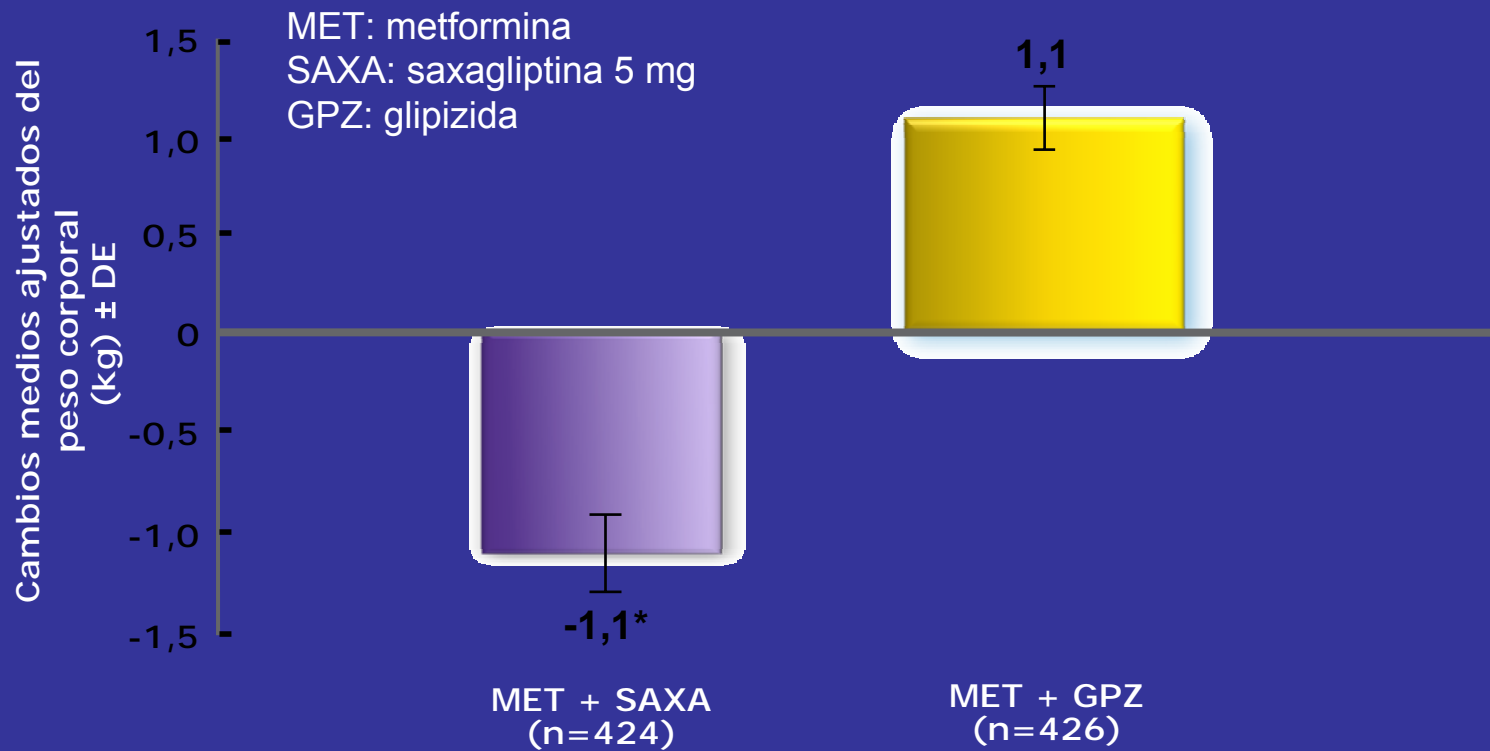
# Evolución comparativa con placebo en el cambio medio de la HbA1c desde la basal



## Proporción de pacientes (%) con $\geq 1$ episodio de hipoglucemia a la semana 52



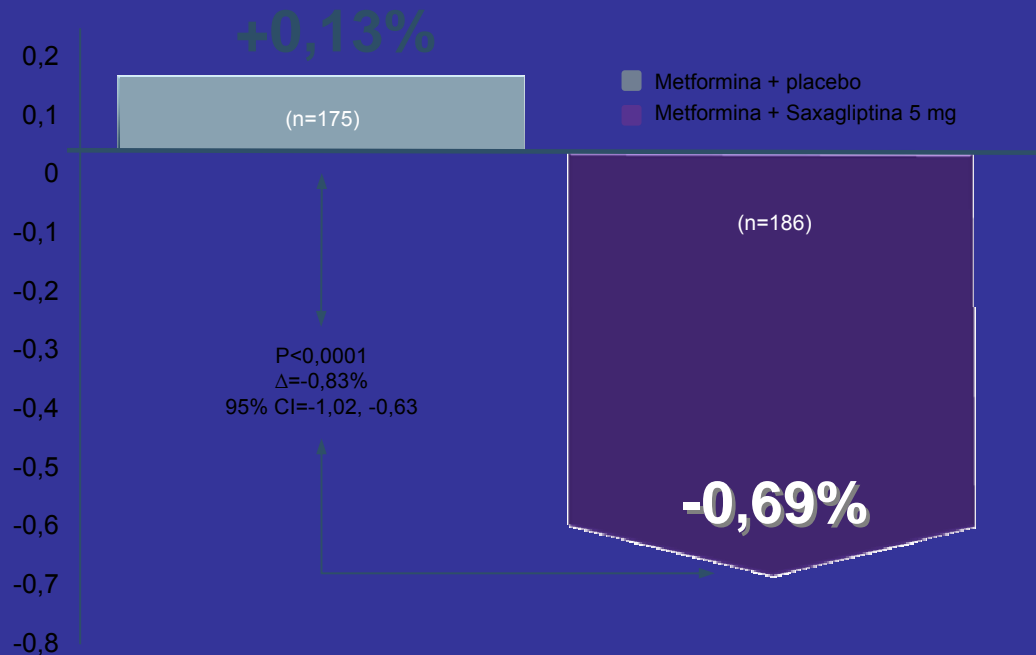
## Cambios medios ajustados del peso corporal: basal a semana 52



\*p<0,0001.

# Eficacia de saxagliptina en adición a metformina (MET)

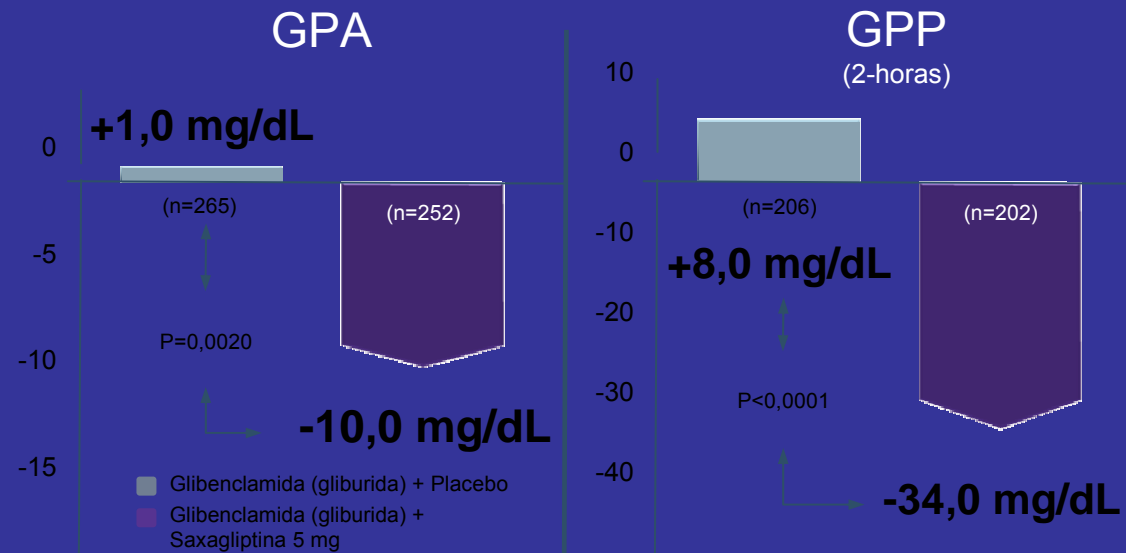
## Cambio de los niveles de GPA y GPP hasta la semana 24



Ensayo de fase 3 aleatorizado, multicéntrico, multinacional, doble-ciego, controlado con placebo y en pacientes adultos con diabetes tipo 2 que no presentaban un control glucémico adecuado ( $\text{HbA1c} \geq 7\%$  y  $\leq 10\%$ ) con metformina en monoterapia. Dosis de metformina en la inclusión de 1500-2500 mg.  $\text{HbA1c}$ : basal promedio 8,1%.

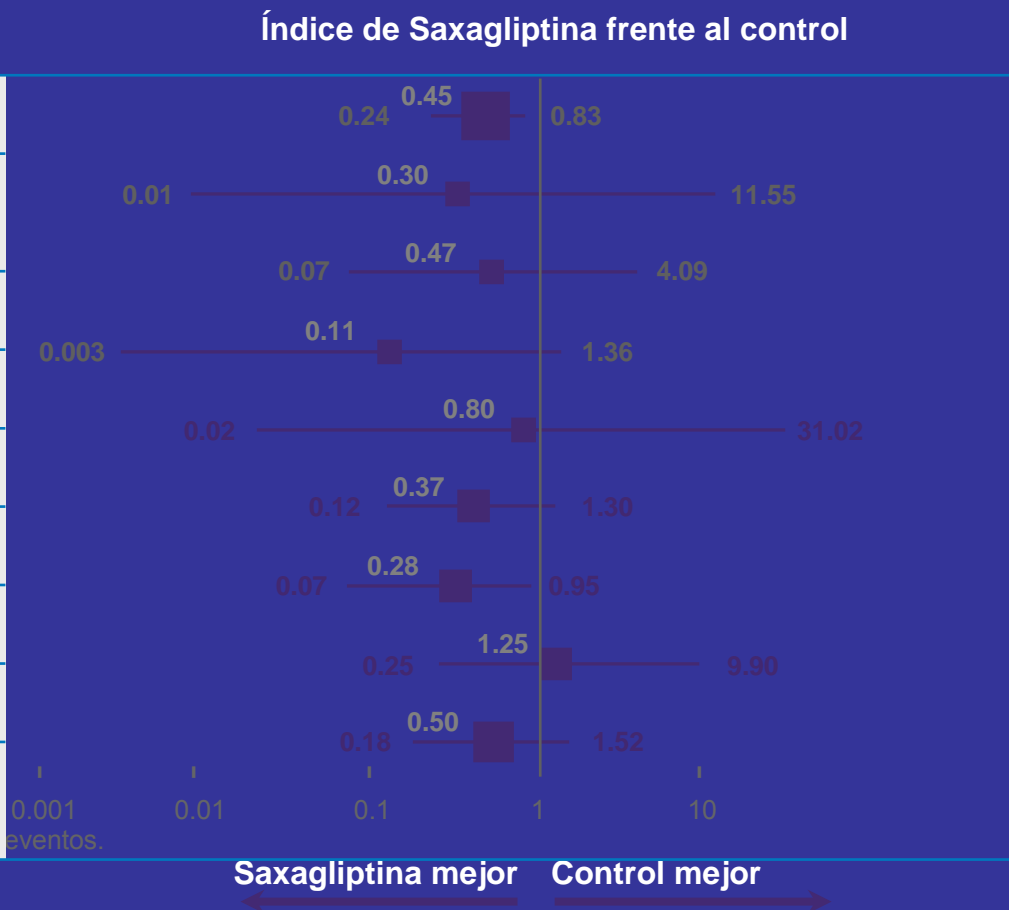
# Eficacia de saxagliptina en adición a sulfonilurea (SU)

## Cambios de los niveles de GPA y GPP hasta la semana 24



Relación de tasa de incidencia de muerte CV/IM/ictus reportada por el investigador comparada con la relación de tasa de incidencia conjunta

Fase 2/3 conjunta
Estudio de rango de dosis de la Fase 2 (-008)
Monoterapia* (-011)
Monoterapia* (-038)
MOA (-041)
+ metformina (-014)
+ sulfonilurea (-040)
+ tiazolidindionas (-013)
Combinación inicial con metformina* (-039)



# Gracias!

